

МЕЖГОСУДАРСТВЕННОЕ ОБРАЗОВАТЕЛЬНОЕ УЧРЕЖДЕНИЕ
ВЫСШЕГО ОБРАЗОВАНИЯ
«БЕЛОРУССКО-РОССИЙСКИЙ УНИВЕРСИТЕТ»

Кафедра «Основы проектирования машин»

ТЕОРИЯ МЕХАНИЗМОВ И МАШИН

*Методические рекомендации к практическим занятиям
для студентов направления подготовки
23.03.02 «Наземные транспортно-технологические комплексы»
дневной формы обучения*

Часть 1



Могилев 2019

УДК 621.9.04
ББК 34.5
Т 38

Рекомендовано к изданию
учебно-методическим отделом
Белорусско-Российского университета

Одобрено кафедрой «Основы проектирования машин» «17» октября 2018 г.,
протокол № 3

Составитель канд. техн. наук, доц. В. Л. Комар

Рецензент канд. техн. наук, доц. Д. М. Свирепа

Изложены цель, задачи, содержание и порядок выполнения практических
занятий.

Учебно-методическое издание

ТЕОРИЯ МЕХАНИЗМОВ И МАШИН

Часть 1

Ответственный за выпуск	А. П. Прудников
Технический редактор	А. А. Подошевка
Компьютерная верстка	Н. П. Полевничая

Подписано в печать . Формат 60×84/16. Бумага офсетная. Гарнитура Таймс.
Печать трафаретная. Усл. печ. л. . Уч.-изд. л. . Тираж 36 экз. Заказ №

Издатель и полиграфическое исполнение:
Межгосударственное образовательное учреждение высшего образования
«Белорусско-Российский университет».
Свидетельство о государственной регистрации издателя,
изготовителя, распространителя печатных изданий
№ 1/156 от 24.01.2014.
Пр. Мира, 43, 212000, Могилев.

© Белорусско-Российский
университет, 2019



Содержание

1 Практические занятия № 1–3. Структура плоских и пространственных механизмов. Структурный анализ механизмов.....	4
2 Практические занятия № 4–6. Построение планов скоростей рычажных механизмов. Построение планов ускорений механизмов. Определение угловых скоростей и ускорений звеньев	10
3 Практическое занятие № 7. Метод кинематических диаграмм	18
4 Практическое занятие № 8. Определение уравновешивающей силы методом Жуковского.....	21
5 Практическое занятие № 9. Аналитический метод кинематического анализа рычажных механизмов.....	22
6 Практическое занятие № 10. Метод планов сил. Определение реакций в кинематических парах.....	26
7 Практические занятия № 11–14. Аналитический метод кинематического анализа планетарных механизмов. Графический метод кинематического анализа комбинированных зубчатых механизмов. Синтез планетарных механизмов. Кинематический анализ дифференциальных механизмов и коробок передач	33
Список литературы	43



1 Практические занятия № 1–3. Структура плоских и пространственных механизмов. Структурный анализ механизмов

Теоретические основы практических занятий

Механизмом называется система тел, предназначенная для преобразования движения одного или нескольких тел в требуемые движения других тел. Механизмы являются составными частями машин.

Механизм состоит из звеньев. *Звеном* называется одна деталь механизма или несколько деталей, жестко связанных между собой. Звено, относительно которого изучается движение остальных звеньев, называется *стойкой*. Звено, которому сообщается движение, называется *входным*. Звено, совершающее движение, для реализации которого создан механизм, называется *выходным*.

Кинематическая пара – соединение звеньев, допускающее их относительное движение. Кинематические пары бывают высшие и низшие. В *низших* парах звенья соприкасаются по поверхностям, а в *высших* – по линиям или в точках. По числу допускаемых относительных движений соединяемых звеньев, кинематические пары бывают *одно-, двух-, трех-, четырех- и пятиподвижные*. По числу связей, накладываемых на относительное движение соединяемых звеньев кинематические пары бывают *первого, второго, третьего, четвертого и пятого классов S* (таблица 1).

Таблица 1 – Классификация кинематических пар

Подвижность W	Класс S	Название	Схема	Условное обозначение
3	3	Сферическая		
2	4	Сферическая с пальцем		
2	4	Цилиндрическая		
1	5	Вращательная		 
1	5	Поступательная		
1	5	Винтовая		

Кинематическая цепь – это система звеньев, образующих между собой кинематические пары. Механизм – это кинематическая цепь, в которой указаны

стойка, входные и выходные звенья. Если кинематическая цепь содержит n подвижных звеньев, то число ее степеней свободы определится по формуле *Сомова-Малышева*

$$W = 6n - 5p_1 - 4p_2 - 3p_3 - 2p_4 - p_5, \quad (1)$$

где n – число подвижных звеньев;

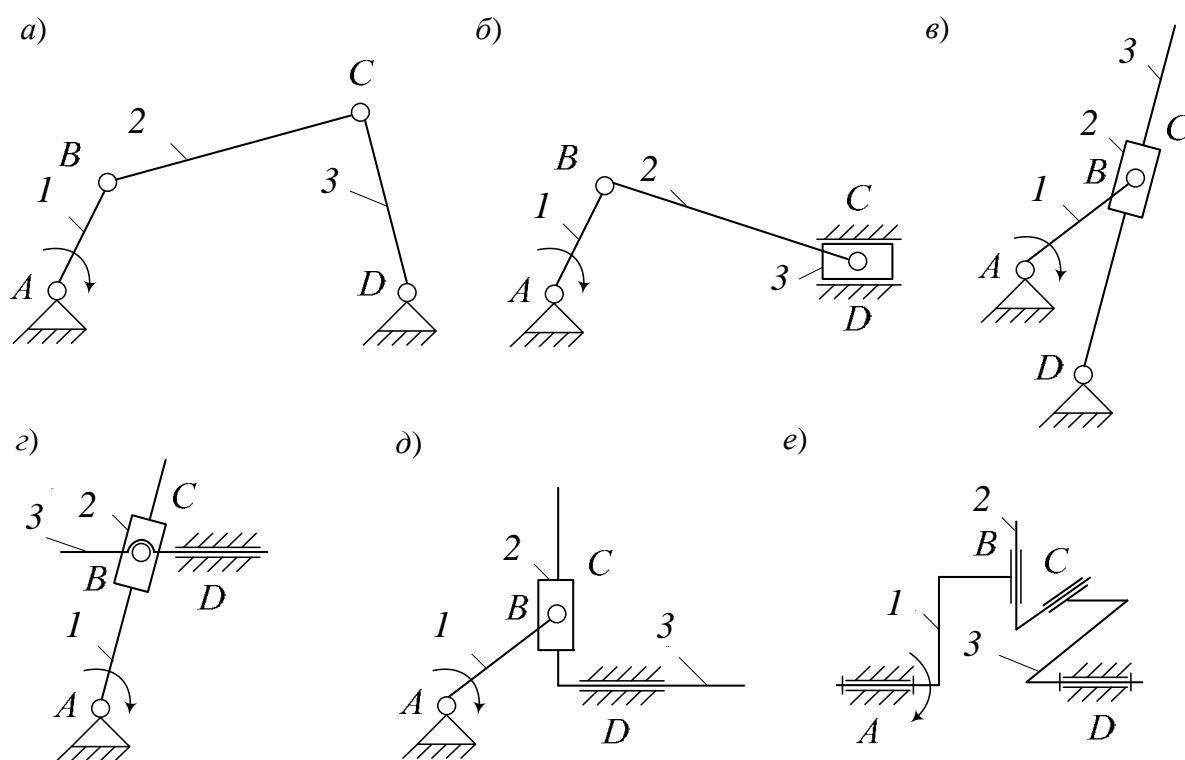
p_1, p_2 – число одноподвижных, двухподвижных пар.

Если все звенья механизма движутся в плоскости, то (1) преобразуется в формулу *Чебышева*:

$$W = 3n - 2p_1 - p_2. \quad (2)$$

Число степеней свободы W равно числу обобщенных координат, т. е. числу независимых между собой параметров, однозначно определяющих положение всех звеньев механизма. Чаще всего применяют механизмы с $W = 1$. Звенья, за которыми закреплены обобщенные координаты, называют *начальными*.

Существуют различные виды механизмов: рычажные, зубчатые, кулачковые, фрикционные и др. Механизмы, звенья которых образуют только низшие пары, называются *рычажными*. На рисунке 1 приведены основные виды простейших рычажных механизмов.



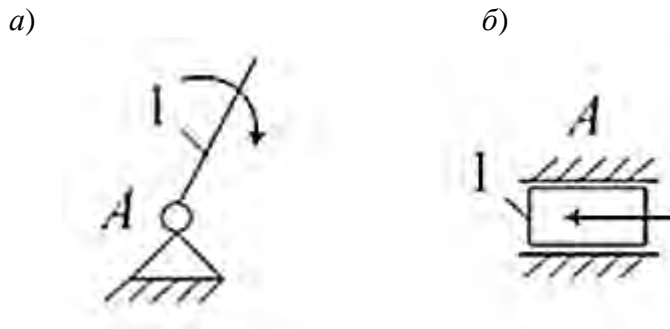
a – шарнирный четырехзвенник; *б* – кривошипно-ползунный; *в* – кулисный; *г* – тангенсный; *д* – синусный; *е* – крестовая муфта (механизм Ольтгейма)

Рисунок 1 – Основные виды рычажных механизмов

Их звенья обозначают цифрами. Звенья имеют специальные названия. Кривошип 1 на рисунке 1 – звено, совершающее полный оборот вокруг неподвижной оси. Коромысло 3 на рисунке 1, a – звено, совершающее неполный оборот вокруг неподвижной оси. Шатун 2 на рисунке 1, $a, б$ – звено рычажного механизма, не образующее кинематической пары со стойкой (совершает сложное движение). Кулиса 3 на рисунке 1, $в$ – звено рычажного механизма, совершающее вращательное движение и образующее с другим звеном (кулисным камнем 2 на рисунке 1, $в$) поступательную кинематическую пару. Кинематические пары обозначают прописными латинскими буквами. Неподвижное звено (стойка) отмечается штриховкой, не обозначается, но подразумевается, что оно имеет обозначение «ноль». Основные виды рычажных механизмов приведены на рисунке 1.

Распространена структурная классификация рычажных механизмов, предложенная Л. В. Ассуром и И. И. Артоболовским, согласно которой каждый механизм с одной степенью свободы $W=1$ можно считать состоящим из механизма первого класса и присоединенных к нему структурных групп.

Механизм первого класса представляет собой ведущее звено, соединенное со стойкой посредством кинематической пары. Обозначается на схеме стрелкой, указывающей направление его движения (см. рисунки 1 и 2).



a – кривошип со стойкой; $б$ – ползун со стойкой

Рисунок 2 – Механизмы первого класса

Структурной группой (группой Ассура) называется такая кинематическая цепь, которая после присоединения к стойке имеет нулевую степень свободы $W=1$. После присоединения этой группы к звеньям механизма его степень подвижности не изменяется. Формула (2) для структурной группы приводится к виду

$$0 = 3n - 2p_1, \quad (3)$$

где $p_1 = 1,5n$.

В таблице 2 представлены основные структурные группы. Структурная группа, у которой $p_1 = 3$, $n = 2$, называется *диадой*.

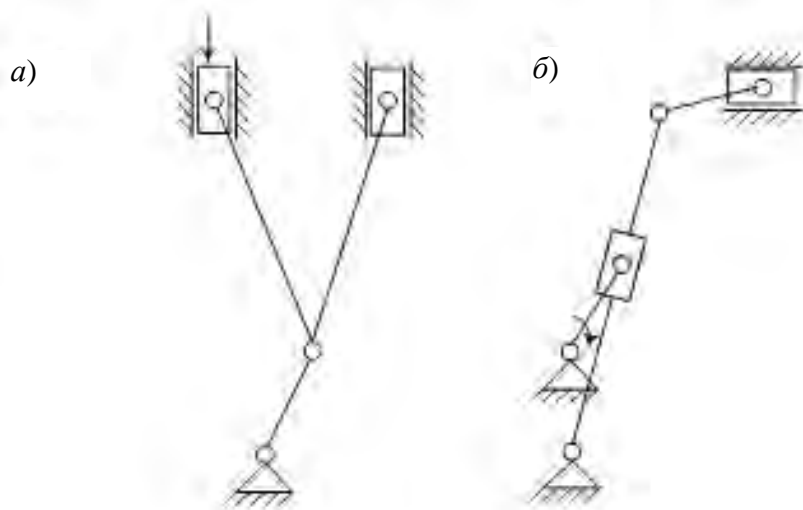
Таблица 2 – Основные структурные группы

n	p_1	Схема структурных групп				
2	3					
4	6					

Пример выполнения задания (тема практического занятия № 1)

Рассмотрим структуру плоских рычажных механизмов, приведенных на рисунке 3. Обозначим звенья механизмов цифрами (рисунок 4), начиная с ведущего звена. Укажем названия звеньев и движение, которое они совершают (таблица 3). Обозначим кинематические пары буквами (таблица 4). Укажем их названия и подвижность W , номера звеньев, образующие пару. Определим степень подвижности:

$$W = 3n - 2p_1 - p_2 = 3 \cdot 5 - 2 \cdot 7 = 1.$$



a – механизм V-образного двигателя внутреннего сгорания; $б$ – механизм поперечно-строгального станка

Рисунок 3 – Плоские рычажные механизмы

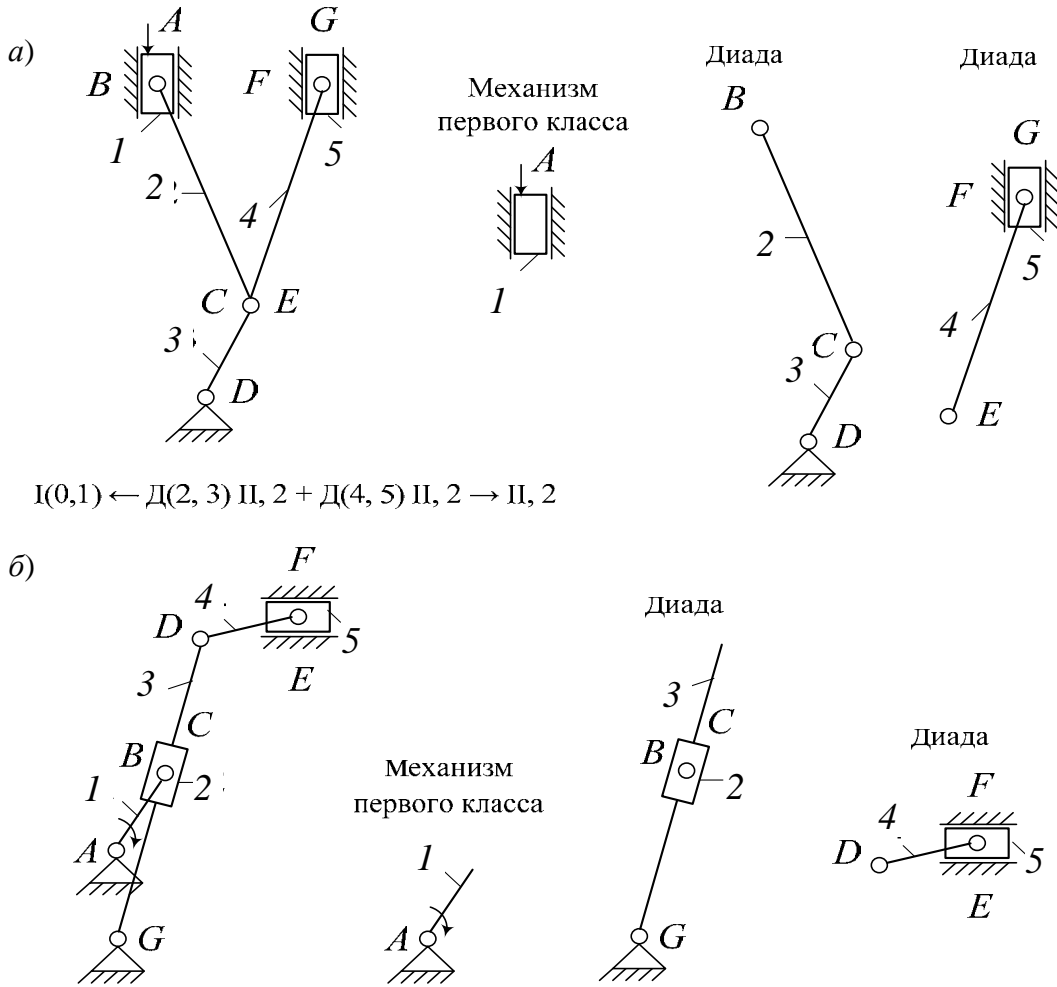


Рисунок 4 – Примеры структурного анализа механизмов

Таблица 3 – Звенья рычажных механизмов

Механизм V-образного двигателя		Механизм поперечно-строгального станка	
Название	Движение	Название	Движение
1 Ползун	Поступательное	1 Кривошип	Вращательное
2 Шатун	Сложное	2 Кулисный камень	Сложное
3 Кривошип	Вращательное	3 Кулиса	Вращательное
4 Шатун	Сложное	4 Шатун	Сложное
5 Ползун	Поступательное	5 Ползун	Поступательное

Таблица 4 – Кинематические пары механизмов

Механизм V-образного двигателя				Механизм поперечно-строгального станка			
Обозначение	Название	Звено	W	Обозначение	Название	Звено	W
A	Поступательная	0, 1	1	A	Вращательная	0, 1	1
B	Вращательная	1, 2	1	B	Вращательная	1, 2	1
C	Вращательная	2, 3	1	C	Поступательная	2, 3	1
D	Вращательная	3, 0	1	D	Вращательная	3, 4	1



Окончание таблицы 4

Механизм V-образного двигателя				Механизм поперечно-строгального станка			
Обозначение	Название	Звено	W	Обозначение	Название	Звено	W
E	Вращательная	3, 4	1	E	Вращательная	4, 5	1
F	Вращательная	4, 5	1	F	Поступательная	5, 0	1
G	Поступательная	5, 0	1	G	Вращательная	3, 0	1

Пример выполнения задания (тема практического занятия № 2)

Для структурного анализа из заданных механизмов выделим механизмы первого класса. Для механизма двигателя – это ползун 1 , образующий поступательную кинематическую пару A со стойкой 0 . Для механизма станка – это кривошип 1 , образующий со стойкой вращательную пару A .

Оставшиеся кинематические цепи механизмов разбиваем на простейшие структурные группы – диады, включающие два соединенных звена и три кинематические пары. Завершаем структурный анализ составлением структурной формулы механизмов: $I(0, 1) \leftarrow Д(2, 3) II, 2 + Д(4, 5) II, 2 \rightarrow II, 2$. Формула расшифровывается следующим образом. Для получения представленных механизмов необходимо к механизму первого класса, включающему звенья $(0, 1)$, присоединить последовательно диаду $Д(2, 3)$, а затем диаду $Д(4, 5)$. Диады второго класса и второго порядка, следовательно, и механизм тоже второго класса и порядка. Структурный анализ зависит от заданного ведущего звена (рисунок 5).

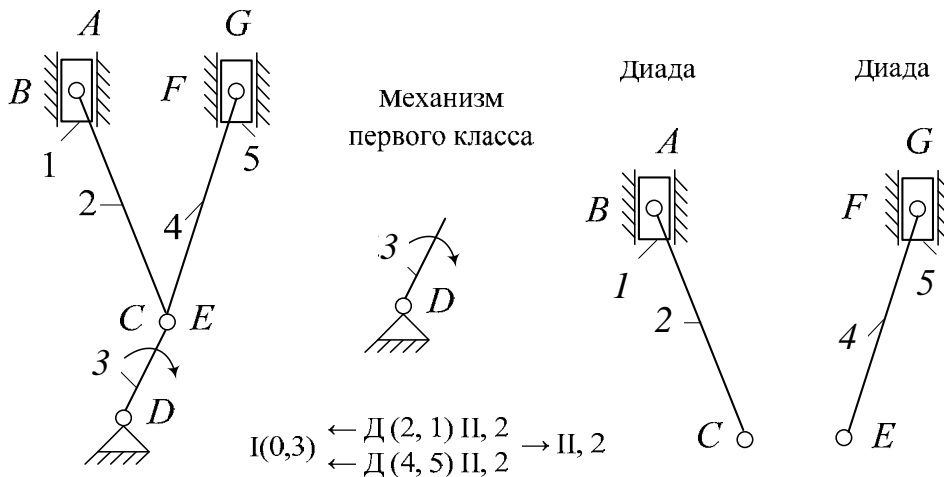


Рисунок 5 – Пример структурного анализа при ведущем кривошипе

Пример выполнения задания (тема практического занятия № 3)

Рассмотрим механизм манипулятора, приведенный на рисунке 6, *а*. Обозначим звенья цифрами, а кинематические пары буквами (рисунок 6, *б*). Заполним таблицу 5. По формуле (1) определим степень подвижности манипулятора:

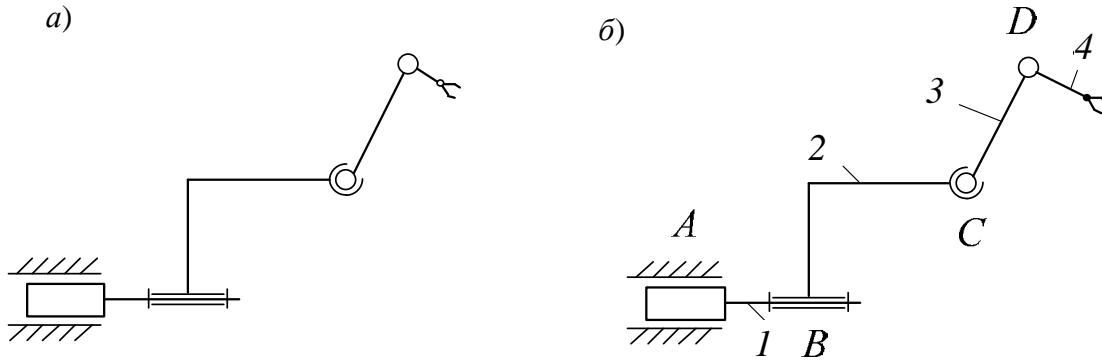
$$W = 6n - 5p_1 - 4p_2 - 3p_3 - 2p_4 - p_5 = 6 \cdot 4 - 5 \cdot 3 - 3 \cdot 1 = 6,$$

где n – число подвижных звеньев механизма, $n = 4$;

p_1 – число одноподвижных кинематических пар, $p_1 = 3$;

p_3 – число трехподвижных кинематических пар, $p_3 = 1$;

p_2, p_4, p_5 – число двух-, четырех- и пятиподвижных кинематических пар соответственно, $p_2 = p_4 = p_5 = 0$.



a – исходная схема механизма; *б* – схема механизма с обозначениями

Рисунок 6 – Схема манипулятора

Таблица 5 – Кинематические пары манипулятора

Обозначение	Название	Звено	W
<i>A</i>	Поступательная	0, 1	1
<i>B</i>	Вращательная	1, 2	1
<i>C</i>	Сферический шарнир	2, 3	3
<i>D</i>	Вращательная	3, 4	1

2 Практические занятия № 4–6. Построение планов скоростей рычажных механизмов. Построение планов ускорений механизмов. Определение угловых скоростей и ускорений звеньев

Теоретические основы практических занятий

Кинематика – раздел механики, изучающий движение с геометрической точки зрения, т. е. без учета причин, вызывающих его. Для характеристики движения используют следующие кинематические параметры: перемещение $s(t)$, м;

скорость $v = \frac{ds}{dt}$, м/с; ускорение $a = \frac{dv}{dt}$, м/с². Можно применять их аналоги –

функцию положения $s(\varphi_1)$, м; передаточную функцию скорости $v_q = \frac{dS}{d\varphi_1}$, м/рад,

или передаточную функцию ускорения $a_q = \frac{dv_q}{d\varphi_1}$, м/рад².

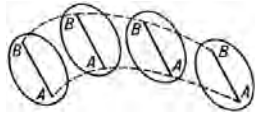
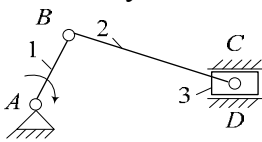

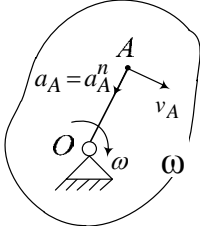
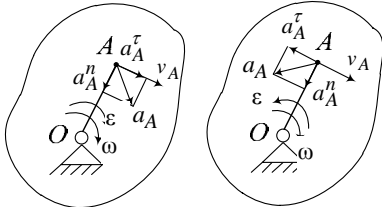
При этом φ_1 – обобщенная координата угла поворота входного звена l ; t – время. Связь между скоростями и ускорениями и их передаточными функциями:

$$v = v_q \cdot \omega; \quad (4)$$

$$a = a_q \cdot \omega^2. \quad (5)$$

В таблице 6 рассмотрены основные виды движения и приведены их кинематические соотношения.

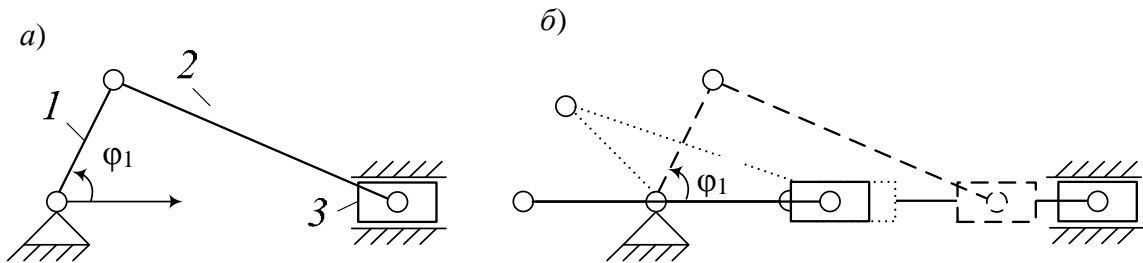
Таблица 6 – Основные виды движения

Вид движения	Пример движения	Скорость	Ускорение
<p>Поступательное движение – это движение, при котором траектории, скорости и ускорения всех точек этого тела одинаковы и тело движется без поворота.</p>	<p>Поступательное движение тела</p> 	$v_A = v_B = \frac{ds}{dt}$	$a_A = a_B = \frac{dv}{dt}$
<p>Прямолинейное движение – частный случай поступательного движения по прямой.</p>	<p>Прямолинейное движение ползуна 3</p> 	$v_3 = \frac{ds}{dt}$	$a_3 = \frac{dv}{dt}$
<p>Круговое поступательное – траектория окружности</p>	<p>Круговое поступательное движение груза</p> 		
<p>Вращательное движение – движение, при котором одна точка тела неподвижна относительно выбранной системы отсчета</p>	<p>Равномерное вращение</p>  <p>Ускоренное замедленное</p> 	$v_A = \omega \cdot l_{OA}$ $v_A = \omega \cdot l_{OA}$	$\vec{a}_A = \vec{a}_A^n$ $a_A^n = \omega^2 \cdot l_{OA}$ $\vec{a}_A = \vec{a}_A^n + \vec{a}_A^\tau$ $\vec{a}_A = \sqrt{(a_A^n)^2 + (a_A^\tau)^2}$ $a_A^n = \omega^2 \cdot l_{OA}$ $a_A^\tau = \epsilon \cdot l_{OA}$

Окончание таблицы 6

Вид движения	Пример движения	Скорость	Ускорение
Сложное движение – результат сложения двух разных видов движений: переносного e и относительного r	Переносное e – вращательное, относительное r – поступательное 	$\vec{v}_A = \vec{v}_A^e + \vec{v}_{AA'}^r$	$\vec{a}_A = \vec{a}_A^e + \vec{a}_{AA'}^r + \vec{a}^k$ $a^k = 2\omega \cdot v_{AA'}^r$
<i>Примечание</i> – \vec{a}_A^n – вектор нормального ускорения точки направляется к центру вращения; a^K – ускорение Кориолиса направляется поворотом на 90° вектора относительной скорости $\vec{v}_{AA'}^r$ по направлению переносного вращения ω			

Для кинематического анализа строят кинематическую схему механизма (структурную схему с учетом геометрических размеров звеньев), планы положений звеньев (кинематические схемы при заданных положениях входного звена) (рисунок 7). Определить кинематические параметры можно методом планов, методом замкнутых векторных контуров, методом численного или графического дифференцирования (интегрирования).



a – кинематическая схема механизма; *б* – несколько планов положений механизма

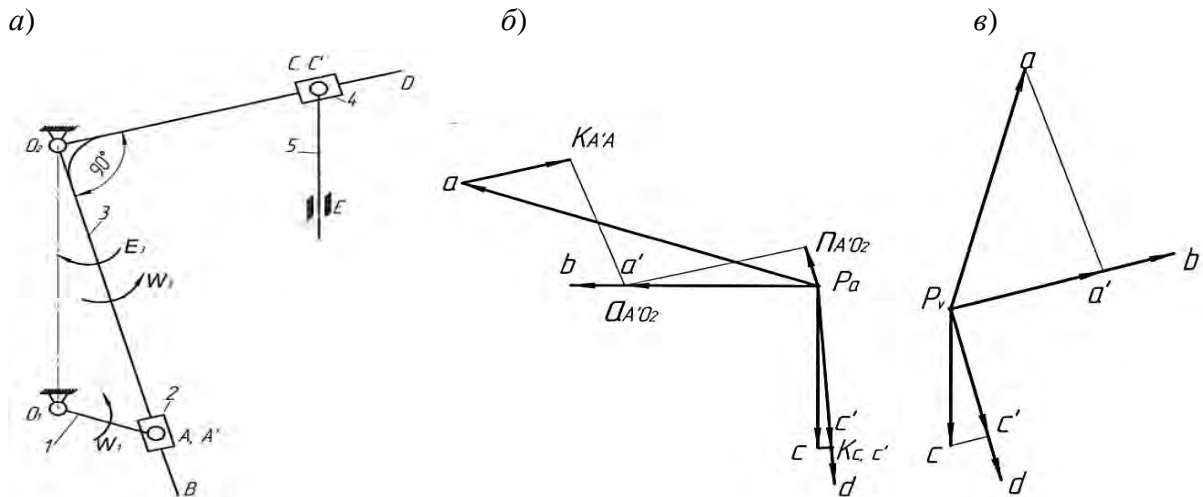
Рисунок 7 – Схемы для кинематического анализа механизма ($\mu_s = 0,01$ м/мм)

Планом скоростей звена называется плоский пучок векторов, идущих из полюса, которые изображают в масштабе абсолютные скорости точек звена; отрезки, соединяющие концы векторов, изображают относительные скорости точек. Совокупность планов скоростей звеньев с общим полюсом называется **планом скоростей механизма**. Определение плана ускорений аналогично.

Пример выполнения задания (тема практического занятия № 4)

Вычерчиваем кинематическую схему механизма (рисунок 8), приняв масштабный коэффициент длин $K_L = 0,0025$ м/мм.

Построение плана скоростей.



a – план механизма $K_1 = 0,0025$ мм; b – план ускорений $K_A = 0,05$ м/(с² · мм); c – план скоростей $K_v = 0,01$ м/(с · мм)

Рисунок 8 – Кинематический анализ механизма

Порядок исследования точек

$$A \rightarrow A^1 \rightarrow C^1 \rightarrow B \rightarrow D \rightarrow C.$$

Определяем скорость точки A :

$$v_A = \frac{\pi \cdot n_1}{30} l_{O_1 A} = \frac{3,14 \cdot 70}{30} = 0,59 \text{ м/с.}$$

Рассчитываем масштабный коэффициент плана скоростей:

$$K_v = \frac{v_A}{P_v a} = \frac{0,59}{59} = 0,01 \text{ м/(с · мм).}$$

Выбираем полюс построения P_v и из него проводим вектор $P_v a$ перпендикулярно звену $O_1 A$ в сторону его вращения.

Скорость точки A^1 определяем графическим решением системы двух векторных уравнений:

$$\begin{cases} \bar{v}_{A^1} = \bar{v}_A + \bar{v}_{A^1 A}; \\ \bar{v}_{A^1} = \bar{v}_{O_2} + \bar{v}_{A^1 O_2}, \end{cases}$$

где $\bar{v}_{O_2} = 0$;

$$v_{A^1} = P_v a^1 \cdot k_v = 41 \cdot 0,01 = 0,41 \text{ м/с};$$

$\bar{v}_{A^1 A}$ параллельно $O_2 B$; $\bar{v}_{A^1 O_2}$ перпендикулярно $O_2 B$.

Для определения скорости точки A^1 проводим из конца вектора $P_v a$ линию, параллельную звену $O_2 B$, а из полюса P_v – перпендикулярную звену $O_2 B$, точка пересечения этих линий дает точку a^1 .

Скорости точек C^1 , B и D рассчитываем по свойству подобия:

$$\frac{P_v a^1}{P_v c^1} = \frac{O_2 A^1}{O_2 C^1} \Rightarrow P_v c^1 = P_v a^1 \frac{O_2 C^1}{O_2 A^1} = 41 \cdot \frac{75}{115} = 26,7 \text{ мм};$$

$$\frac{P_v a^1}{P_v v} = \frac{O_2 A^1}{O_2 B} \Rightarrow P_v a^1 = P_v v \frac{O_2 B}{O_2 A^1} = 41 \cdot \frac{130}{115} = 46,3 \text{ мм};$$

$$\frac{P_v a^1}{P_v d} = \frac{O_2 A^1}{O_2 D} \Rightarrow P_v d = P_v a^1 \frac{O_2 D}{O_2 A^1} = 41 \cdot \frac{96}{115} = 34,2 \text{ мм};$$

$$v_{A^1} = P_v a^1 \cdot k_v = 41 \cdot 0,01 = 0,41 \text{ м/с};$$

$$v_B = P_v b \cdot k_v = 51,3 \cdot 0,01 = 0,513 \text{ м/с};$$

$$v_D = P_v d \cdot k_v = 34,2 \cdot 0,01 = 0,342 \text{ м/с};$$

Точка b лежит на продолжении вектора $P_v a^1$.

Скорость точки C определяем графическим решением системы двух векторных уравнений:

$$\begin{cases} \bar{v}_c = \bar{v}_{c^1} + \bar{v}_{cc^1}; \\ \bar{v}_c = \bar{v}_{c_0} + \bar{v}_{cc_0}, \end{cases}$$

где $\bar{v}_{O_2} = 0$;

\bar{v}_{cc^1} параллельно $O_2 D$;

\bar{v}_{cc_0} по вертикали.

Для нахождения точки C проводим из конца вектора $P_v c^1$ линию, параллельную звену $O_2 D$, а из полюса P_v линию по вертикали. Точка пересечения этих линий дает точку C .

$$v_c = P_v c \cdot k_v = 38 \cdot 0,01 = 0,38 \text{ м/с}.$$

Пример выполнения задания (тема практического занятия № 5)

Построение плана ускорений.

Определяем ускорение точки A :



$$a_A = \left(\frac{\pi \cdot n_k}{30} \right)^2 l_{O_1A} = \left(\frac{3,14 \cdot 70}{30} \right)^2 \cdot 0,08 = 4,3 \text{ м/с}^2.$$

Выбираем масштабный коэффициент плана ускорений:

$$k_a = \frac{a_{A_1}}{P_a a} = \frac{4,3}{86} = 0,05 \text{ м/с}^2 \cdot \text{мм}.$$

Из полюса P_a проводим вектор $P_a a$ параллельно кривошипу к центру вращения.

Для определения ускорения точки A^1 составляем систему двух векторных уравнений, которую решаем графически:

$$\begin{cases} \bar{a}_{A^1} = \bar{a}_A + \bar{a}_{A^1A}^k + \bar{a}_{A^1A}; \\ \bar{a}_{A^1} = \bar{a}_{O_2} + \bar{a}_{A^1O_2}^n + \bar{a}_{A^1O_2}^\tau, \end{cases}$$

где $\bar{a}_{O_2} = 0$;

\bar{a}_{A^1A} параллельно O_2B ;

$\bar{a}_{A^1O_2}^n$ параллельно O_2B ;

$\bar{a}_{A^1O_2}^\tau$ перпендикулярно O_2B .

Определяем составляющие этих уравнений. Величина ускорения Кориолиса рассчитывается следующим образом:

$$a_{A^1A}^k = 2 \frac{v_{A^1}}{l_{A^1O_2}} v_{A^1A} = 2 \frac{0,41}{0,2875} \cdot 0,43 = 1,2 \text{ м/с}^2.$$

Для определения направления ускорения Кориолиса необходимо вектор относительной скорости \bar{v}_{A^1A} повернуть на 90° в сторону вращения кулисы.

Для определения ускорения точки A^1 проводим из конца вектора $P_a a$ вектор ускорения Кориолиса, а из его конца вектор \bar{a}_{A^1A} , параллельный звену BO_2 . Для решения второго векторного уравнения проводим из полюса P_a вектор нормального ускорения $\bar{a}_{A^1O_2}^n$, который направлен параллельно звену BO_2 к центру его вращения и определяется как

$$a_{A^1A}^n = \frac{v_{A^1}^2}{l_{A^1O_2}} = \frac{0,41^2}{0,2875} = 0,6 \text{ м/с}^2,$$



а затем проводим из конца нормального ускорения касательное, которое перпендикулярно звену BO_2 . Точка пересечения последних векторов дает точку a^1 :

$$a_{A^1} = P_a a^1 \cdot k_a = 40 \cdot 0,05 = 2 \text{ м/с}^2.$$

Ускорения точек C^1 , B и D рассчитываем по теореме подобия:

$$\frac{P_a a^1}{P_a c^1} = \frac{O_2 A^1}{O_2 C^1} \Rightarrow P_a c^1 = P_a a^1 \frac{O_2 C^1}{O_2 A^1} = 40 \cdot \frac{75}{115} = 26 \text{ мм};$$

$$a_{c^1} = P_a c^1 \cdot k_a = 26 \cdot 0,05 = 1,3 \text{ м/с}^2;$$

$$\frac{P_a a^1}{P_a b} = \frac{O_2 A^1}{O_2 B} \Rightarrow P_a b = P_a a^1 \frac{O_2 B}{O_2 A^1} = 40 \cdot \frac{144}{115} = 50 \text{ мм};$$

$$a_b = P_a b \cdot k_a = 50 \cdot 0,05 = 2,5 \text{ м/с}^2;$$

$$\frac{P_a a^1}{P_a d} = \frac{O_2 A^1}{O_2 D} \Rightarrow P_a d = P_a a^1 \frac{O_2 D}{O_2 A^1} = 40 \cdot \frac{96}{115} = 33,4 \text{ мм};$$

$$a_d = P_a d \cdot k_a = 33,4 \cdot 0,05 = 1,67 \text{ м/с}^2.$$

Ускорение точки C определяем графическим решением системы двух векторных уравнений:

$$\begin{cases} a_C = \bar{a}_{C_0} + \bar{a}_{CC^1}^k + \bar{a}_{CC^1}; \\ \bar{a}_C = \bar{a}_{C_0} + \bar{a}_{CC_0}, \end{cases}$$

где; $\bar{a}_{C_0} = 0$;

\bar{a}_{CC^1} параллельно $O_2 D$;

\bar{a}_{CC_0} по вертикали.

Находим ускорение Кориолиса:

$$a_{CC^1}^k = 2 \cdot \frac{v_{A^1}}{l_{A^1 O_2}} \cdot v_{C^1 C} = 2 \cdot \frac{0,41}{0,2875} \cdot 0,07 = 0,2 \text{ м/с}^2.$$

Направление ускорения $\bar{a}_{CC^1}^k$ определяется поворотом вектора относительной скорости \bar{v}_{CC^1} на 90° в сторону вращения кулисы. Из конца вектора $P_a c^1$



откладываем вектор $\bar{a}_{CC^1}^k$, a затем из него – вектор \bar{a}_{CC^1} .

Точка пересечения вектора с вертикалью дает точку c :

$$a_C = P_a c \cdot k_a = 21 \cdot 0,05 = 1,05 \text{ м/с}^2.$$

Определяем величины ускорений центров тяжести звеньев. Принимаем, что центр тяжести звена лежит на его середине.

$$a_{s_5} = a_c = 1,05 \text{ м/с}^2;$$

$$a_{s_3} = P_a \cdot S_3 \cdot k_a = 20 \cdot 0,05 = 1,0 \text{ м/с}^2.$$

Пример выполнения задания (тема практического занятия № 6)

Определение угловых скоростей и ускорений звеньев.

Направление угловой скорости звена определяется направлением линейной скорости точки рассматриваемого звена. Для определения направления угловой скорости звена линейная скорость точки переносится в рассматриваемую точку звена; в какую сторону скорость поворачивает звено, туда будет направлена угловая скорость ω_i .

$$\omega_1 = \frac{\pi \cdot n_1}{30} = \frac{3,14 \cdot 70}{30} = 7,3 \text{ с}^{-1};$$

$$\varepsilon_1 = 0 \text{ при } \omega_1 = \text{const};$$

$$\omega_2 = \omega_3 = \omega_4 = \frac{v_{A^1}}{l_{A^1 O_2}} = \frac{0,41}{0,2875} = 1,43 \text{ с}^{-1}.$$

Направление углового ускорения определяется направлением тангенциального ускорения точки звена при переносе его в рассматриваемую точку звена. В какую сторону поворачивает тангенциальное ускорение рассматриваемой точки звена, туда и направлено угловое ускорение звена ε_i .

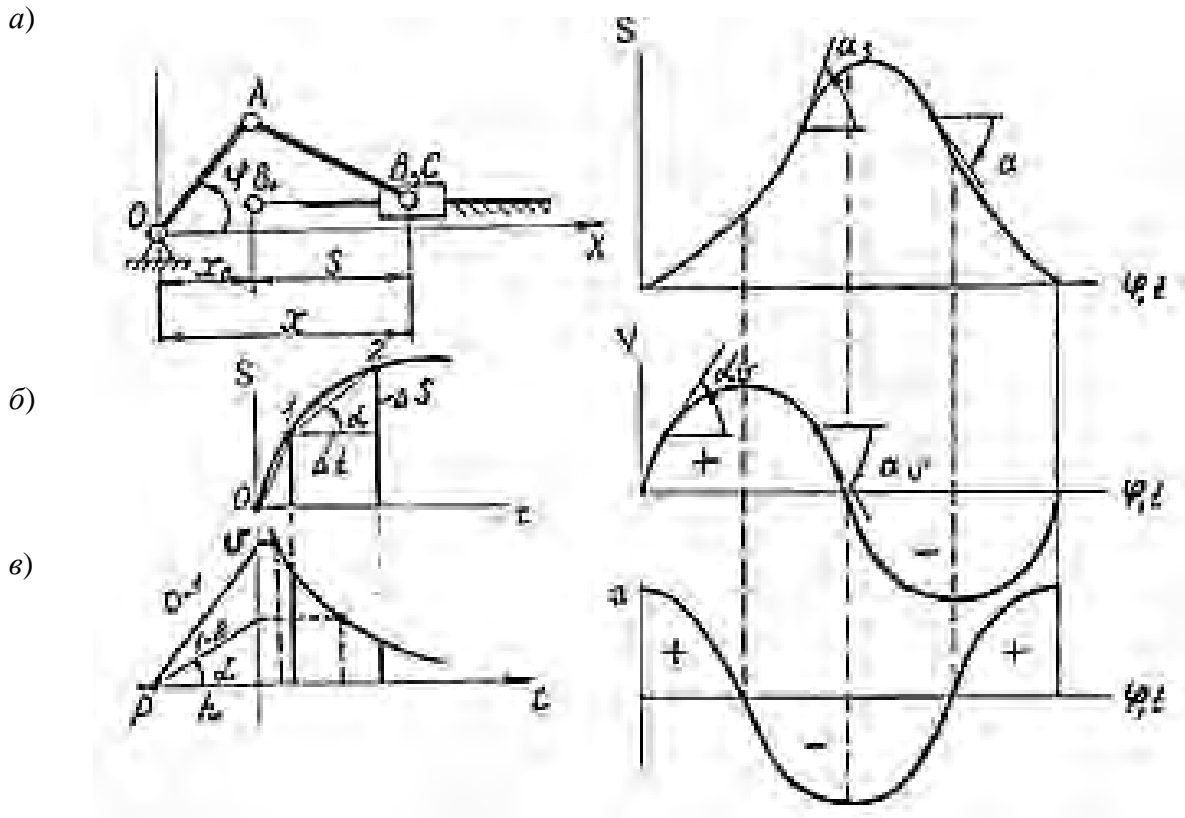
$$\varepsilon_2 = \varepsilon_3 = \varepsilon_4 = \frac{a_{A^1 O_2}^\tau}{l_{A^1 O_2}} = \frac{1,9}{0,2875} = 6,6 \text{ с}^{-2}.$$



3 Практическое занятие № 7. Метод кинематических диаграмм

Теоретические основы практического занятия

Метод кинематических диаграмм отличается простотой реализации, хорошо иллюстрирует связь между кинематическими параметрами, однако дает низкую точность результатов. Рассмотрим его на примере кривошипно-ползунного механизма (рисунок 9).



a – кинематическая схема механизма; *б* – метод графического дифференцирования, кинематические графики перемещений; *в* – метод скоростей и ускорений ползуна

Рисунок 9 – Метод хорд

Положение точки *B* при заданном значении обобщенной координаты φ определяется координатой x . Если обозначить координату точки *B* в крайнем положении механизма x_0 , то ее перемещение $S_B = x - x_0$. Перемещение представляет функцию угла φ . Задаваясь значениями этого угла, по планам положений механизма определим перемещения S и построим график $S(\varphi)$. Поскольку $\varphi = \omega t$, ось φ можно считать осью t , и, следовательно, полученный график есть график $S(t)$. Согласно определению скорости и графическому смыслу производной, имеем

$$V = dS / dt = \operatorname{tg} \alpha_s k_v,$$

где α_s – угол наклона касательной к графику $S(t)$.

Отсюда следует способ построения графика $V(t)$: проводятся касательные в выбранных точках графика $S(t)$, измеряются углы наклона α_s , вычисляются тангенсы этих углов. Аналогичным образом находится ускорение:

$$a = dV / dt = \operatorname{tg} \alpha_v k_a.$$

Между графиками $S(t)$, $V(t)$, $a(t)$ существует связь как между интегральными и дифференциальными кривыми.

Экстремуму интегральной кривой соответствует ноль на дифференциальной кривой.

Точке перегиба интегральной кривой соответствует экстремум дифференциальной кривой.

Возрастающим значениям интегральной кривой соответствуют положительные значения дифференциальной кривой, убывающим – отрицательные.

Непосредственное применение указанного способа построения графиков не практикуется из-за сложности точного построения касательных. Обычно используется его модификация, которая называется методом хорд: касательные, проведенные в точках, лежащих на серединах выбранных участков, заменяются хордами этих участков.

Пример выполнения задания

Определяем методом кинематических диаграмм кинематические параметры кривошипно-ползунного механизма (рисунок 10), для которого заданы $l_{O_2A} = 0,1$ м; $l_{AB} = 0,3$ м; $n_1 = 60$ мин⁻¹.

В выбранном масштабе $K_S = 0,001$ м/мм методом засечек строим кинематическую схему механизма в 12 положениях и определяем перемещение ползуна 3 для каждого положения графически. Строим по полученным перемещениям ползуна 3 диаграмму перемещений $S = f(t)$ в масштабе $K_S = 0,001$ м/мм (см. рисунок 10).

Для построения диаграммы скоростей $V = f(t)$ выбираем полюсное расстояние $H_1 = 30$ мм и полюс построения P_1 . Из полюса P_1 проводим лучи 0–1; 1–2; ...; 11–12, параллельные хордам каждого из участков диаграммы перемещений $S = f(t)$. Проведенные лучи отсекают на оси ординаты отрезки, являющиеся средними значениями скорости соответствующего участка. Соединив эти ординаты плавной кривой, получим диаграмму скоростей $V = f(t)$, ползуна 3. Для получения диаграммы ускорений выбираем полюсное расстояние $H_2 = 30$ мм и полюс построения P_2 и аналогично графически дифференцируем диаграмму скоростей $V = f(t)$, получаем диаграмму ускорений $a = f(t)$.

Для определения значений скоростей и ускорений ползуна 3 за полный цикл движения механизма находим масштабные коэффициенты построения диаграмм.

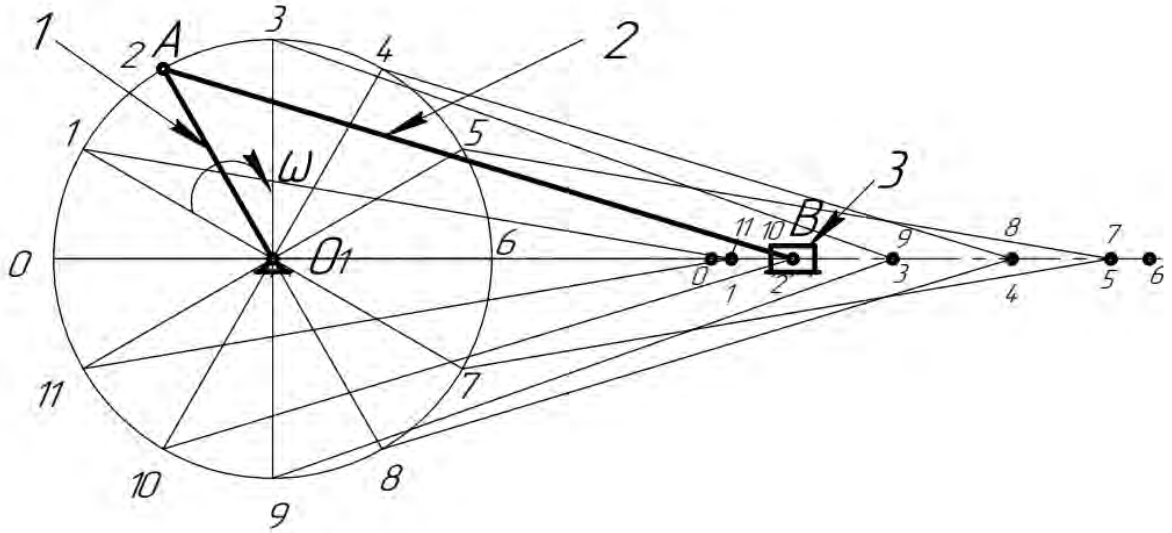
Масштабный коэффициент времени



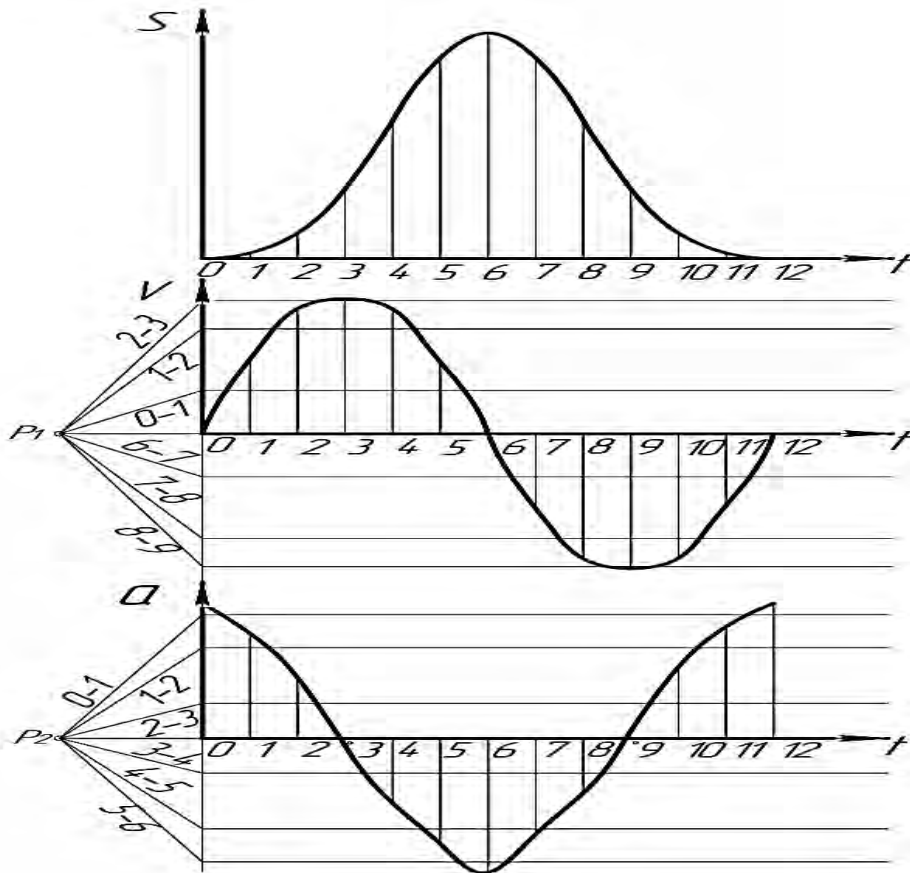
$$K_t = \frac{180}{6n_1 \cdot x_t} = \frac{180}{6 \cdot 60 \cdot 120} = 0,00417 \text{ с/мм},$$

где x_t – абсцисса диаграммы перемещений, $x_t = 120$ мм.

a)



b)



a – кинематическая схема кривошипно-ползунного механизма; *b* – диаграмма движения ползуна

Рисунок 10 – Метод кинематических диаграмм

Масштабный коэффициент диаграммы скоростей

$$K_v = \frac{K_s}{H_1 \cdot K_t} = \frac{0,001}{30 \cdot 0,00417} = 0,008 \text{ м/с}.$$

Масштабный коэффициент диаграммы ускорений

$$K_a \frac{K_v}{H_2 \cdot K_t} = \frac{0,008}{30 \cdot 0,00417} = 0,0639 \text{ м/(с}^2 \cdot \text{мм)}.$$

4 Практическое занятие № 8. Определение уравновешивающей силы методом Жуковского

Теоретические сведения практического занятия

Для динамического расчета будем использовать два метода: *метод планов сил* и *метод рычага Жуковского*. Метод планов сил позволяет определить силу, уравновешивающую заданные внешние силы и силы инерции, а также позволяет определить реакции в кинематических парах. Метод основан на принципе освобожденности от связей (отброшенные связи заменяются реакциями) и на принципе Даламбера. *Уравновешивающая сила* прикладывается к концу кривошипа перпендикулярно ему и уравновешивает все остальные силы, приложенные к звеньям механизма.

Метод рычага Жуковского основан на принципе возможных перемещений (принципе Даламбера-Лагранжа), согласно которому работа всех активных сил и сил инерции на возможном перемещении системы равна нулю. Этот метод позволяет оценить уравновешивающую силу без определения реакций в кинематических парах.

Пример выполнения задания

Определим уравновешивающую силу с помощью рычага Жуковского (рисунок 11). Для этого построим повернутый в любом направлении на 90° план скоростей (см. рисунок 11, б) и перенесем на него со схемы сил механизма (см. рисунок 11, а) все силы в соответствующие точки.

Считая, что план скоростей – это жесткий рычаг с опорой в полюсе, запишем уравнение моментов всех сил относительно полюса. Плечи будем подставлять в миллиметрах, измеряя их непосредственно на рисунке 11, б.

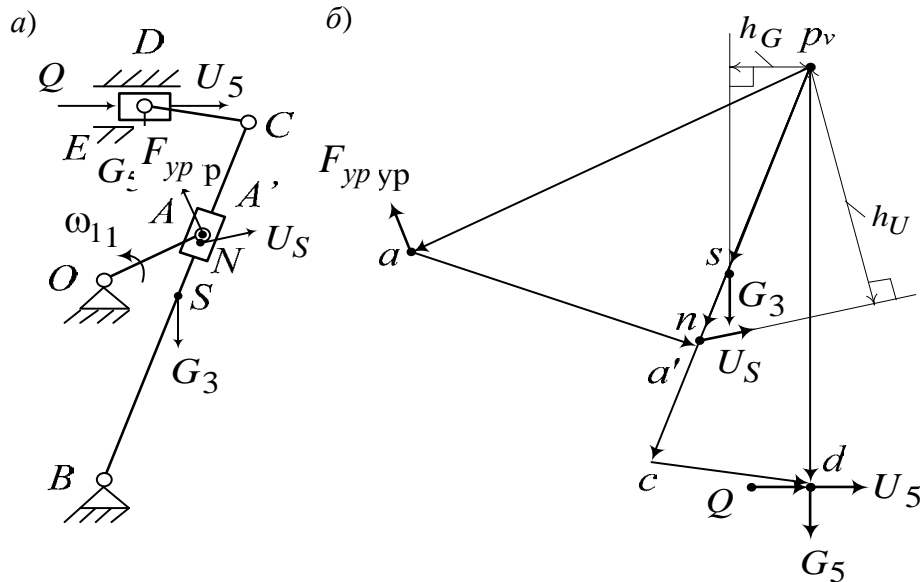
$$\sum M_{p_v} = 0; \quad F_{yp} \cdot p_v a - G_3 \cdot h_G - U_3 \cdot h_U - (Q + U_5) \cdot p_v d = 0.$$

Линия действия силы G_5 проходит через полюс, поэтому она не имеет плеча и ее момент относительно полюса равен нулю. Рассчитаем уравновешивающую силу:



$$F_{yp} = \frac{G_3 \cdot h_G + U_3 \cdot h_U + (Q + U_5) \cdot p_v \cdot d}{p_v \cdot a};$$

$$F_{yp} = \frac{78,48 \cdot 28 + 31,92 \cdot 92 + (250 + 146,5) \cdot 155,2}{150} = 444,47 \text{ Н.}$$



a – схема приложенных к механизму сил; *б* – рычаг Жуковского

Рисунок 11 – Применение метода рычага Жуковского

Определим расхождение результатов, полученных разными методами:

$$\Delta = 100 - \frac{444,47 \cdot 100}{461,03} = 3,59 \text{ \%}.$$

5 Практическое занятие № 9. Аналитический метод кинематического анализа рычажных механизмов

Теоретические основы практического занятия

Функция положения – аналитическая зависимость координаты выходного звена от обобщенной координаты входного звена механизма.

Предположим, что положение входного звена *l* определяется угловой координат $\omega_1 = \omega_1(t)$, тогда его угловая скорость $\omega_1 = d\varphi/dt$, а угловое ускорение $\varepsilon_1 = d\omega/dt$ (рисунок 12); положение выходного звена определяется координатой φ_1 .

Допустим функция положения имеет следующий вид:

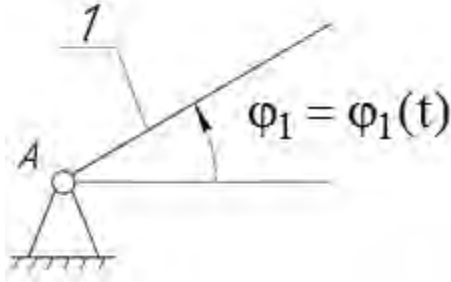
$$S_k = S_k(\varphi_1),$$

тогда линейная скорость выходного звена определится как

$$V_k = \frac{dS_k}{dt} = \frac{dS_k}{d\varphi_1} \cdot \frac{d\varphi_1}{dt} = \frac{dS_k}{d\varphi_1} \cdot \omega_1 = U_{k-1} \cdot \omega_1,$$

где U_{k-1} – передаточная функция скоростей или передаточное отношение.

а)



б)

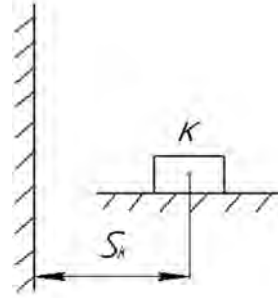


Рисунок 12 – Входное (а) и выходное (б) звенья

Касательное ускорение выходного звена

$$\begin{aligned} a_k^{\tau} &= \frac{dV_k}{dt} = \frac{d(U_{k-1} \cdot \omega_1)}{dt} = \frac{dU_{k-1}}{dt} \cdot \omega_1 + U_{k-1} \cdot \frac{d\omega_1}{dt} = \\ &= \frac{dU_{k-1}}{d\omega_1} \cdot \frac{d\omega_1}{dt} + U_{k-1} \cdot \varepsilon_1 = U'_{k-1} \cdot \omega_1^2 + U_{k-1} \cdot \varepsilon_1, \end{aligned}$$

где U'_{k-1} – передаточная функция ускорений, $U'_{k-1} = \frac{dU_{k-1}}{d\omega_1} = \frac{d^2 S_k}{d\varphi_2}$.

Таким образом, значение параметров движения выходного звена определяется значением скорости и ускорения входного звена. Вид функции положения зависит от схемы.

Порядок аналитического решения задач кинематического анализа механизма рассмотренным способом следующий.

Составляется функция положения $S_k = S_k(\varphi)$.

Дифференцированием функции положения по параметру φ_1 определяется передаточная функция скоростей U_{k-1} .

Дифференцированием передаточного отношения U_{k-1} по параметру φ_1 определяется передаточная функция ускорения U'_{k-1} .

Вычисляются значения скорости и ускорения выходного звена по соотношениям (1) и (2)

$$V_k = \omega_1 \cdot U_{k-1};$$

$$a_k = U'_{k-1} \cdot \omega_1^2 + U_{k-1} \cdot \varepsilon_1.$$

Метод замкнутых векторных контуров

Если механизм содержит шатуны, кулисы или колебатели, то при составлении функции положения целесообразно использовать метод замкнутых векторных контуров.

Суть метода состоит в том, что, например, механизм второго класса представляют структурно состоящим из ряда четырехзвенников. Причем выходное звено предыдущего четырехзвенника становится входным звеном последующего четырехзвенника. Выделив таким образом ряд контуров четырехзвенников, с каждым из них связывают систему координат. Вдоль каждого звена направляют вектор от шарнира к шарниру либо вдоль направляющих элементов кинематических пар. Вектор позволяет ориентировать звено в системе координат.

Затем составляется уравнение замкнутости векторного контура, которое проектируется на оси координат. Последующим дифференцированием уравнений в проекциях на оси координат получают параметры передаточных функций U_{k-1} и U'_{k-1} . После этого рассчитывают значения скоростей и ускорений. Так, последовательно переходя от контура к контуру, определяют линейные скорости, ускорения характерных точек звеньев и угловые скорости, ускорения всех звеньев.

На базе метода замкнутых векторных контуров рассмотрим определение скоростей и ускорений для однодиадных механизмов типа кривошипно-ползунный механизм, кулисный механизм, шарнирный четырехзвенник.

Затем полученные алгоритмы расчета используем для исследования двухдиадных механизмов. Как правило, рычажные механизмы являются циклическими. Поэтому исследования выполняются за цикл движения с шагом по углу поворота кривошипа. Тексты циклических программ могут быть записаны на любом алгоритмическом языке либо с использованием электронных таблиц Excel. Результаты исследования могут быть оформлены в табличном и графическом виде.

Пример выполнения задания

Дана схема центрального кривошипно-ползунного механизма (рисунок 13); $l_1, l_2, \varphi_1, \omega_1$. Определить перемещение, скорость, ускорение звена 3.

Назначаем систему координат XOY . Вдоль звеньев от шарнира к шарниру направляем векторы $\bar{l}_1, \bar{l}_2, \bar{X}_B$ так, чтобы получился замкнутый контур. Составляем уравнение замкнутости векторного контура и работаем с ним.

Уравнение замкнутости векторного контура

$$\bar{l}_1 + \bar{l}_2 = \bar{X}_B.$$

Система уравнений в координатной форме



$$\begin{cases} l_1 \cdot \cos \varphi_1 + l_2 \cos \varphi_2 = X_B; \\ l_1 \cdot \sin \varphi_1 + l_2 + l_2 \sin \varphi_2 = Y_B. \end{cases}$$

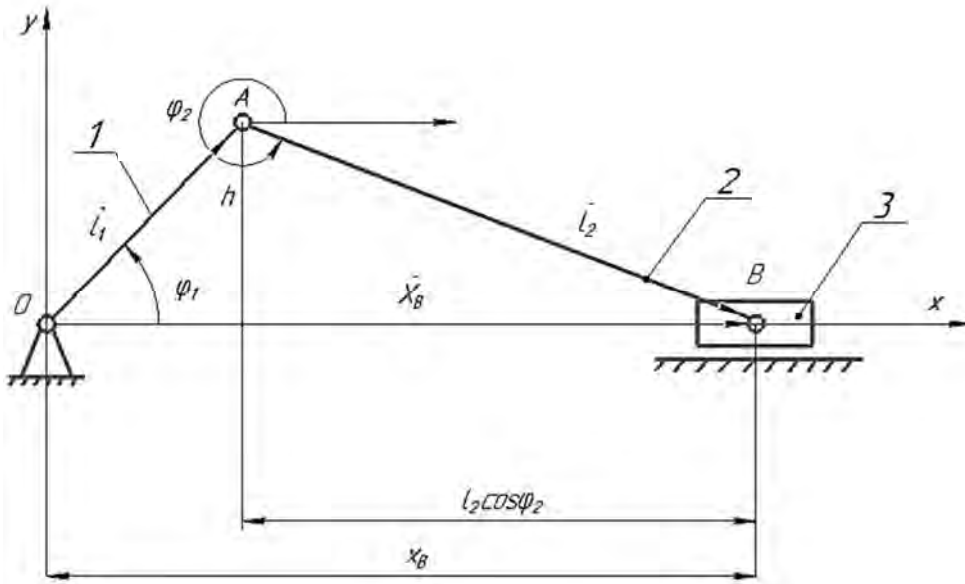


Рисунок 13 – Схема механизма

Так как $Y_B = 0$, то

$$l_2 \sin \varphi_2 = -l_2 \sin \varphi_1;$$

$$l_2 \cos \varphi_1 \sqrt{l_2^2 - h^2} = \sqrt{l_2^2 - (l_1 \cdot \sin \varphi_1)_2}.$$

Дифференцируя уравнения, получаем передаточные отношения U_{31} , U_{21} :

$$\begin{cases} -l_1 \cdot \sin \varphi_1 - l_2 \cdot \sin \varphi_2 \cdot \frac{d\varphi_2}{d\varphi_1} = \frac{dx_B}{d\varphi_1}; \\ l_1 \cdot \cos \varphi_1 + l_2 \cdot \cos \varphi_2 \frac{d\varphi_2}{d\varphi_1} = 0, \end{cases}$$

где $\frac{dx_B}{d\varphi_1} = U_{31}$;

$$\frac{d\varphi_2}{d\varphi_1} = U_{21}.$$

Из второго уравнения системы находим U_{21} :

$$U_{21} = \frac{l_1 \cdot \cos \varphi_1}{l_2 \cdot \cos \varphi_2}.$$

Из первого уравнения системы находим U_{31} :

$$U_{31} = -l_1 \cdot \sin \varphi_1 - U_{21} \cdot l_2 \cdot \sin \varphi_2 = -l_1 \cdot \sin \varphi_1 - U_{21} \cdot l_1 \cdot \sin \varphi_1 = l_1 \cdot \sin \varphi_1 \cdot (U_{21} - 1).$$

Дифференцируя уравнения, получаем передаточные функции ускорений U'_{31} , U'_{21} :

$$\begin{cases} -l_1 \cdot \cos \varphi_1 - l_2 \cos \varphi_2 \cdot U_{21}^2 - l_2 \cdot \sin \varphi_2 \cdot U'_{21} = U'_{31}; \\ -l_1 \cdot \sin \varphi_1 - l_2 \cdot \sin \varphi_1 \cdot U_{21}^2 - l_2 \cdot \cos \varphi_2 \cdot U'_{21} = 0, \end{cases}$$

откуда

$$U'_{21} = \frac{l_1 \cdot \sin \varphi_1 + U_{21}^2 \cdot l_2 \cdot \sin \varphi_2}{l_2 \cdot \cos \varphi_2};$$

$$U'_{31} = -l_1 \cdot \cos \varphi_1 - U_{21}^2 \cdot l_2 \cdot \cos \varphi_2 - U'_{21} \cdot l_2 \cdot \sin \varphi_2.$$

Кинематические параметры звеньев механизма:

$$\omega_2 = U_{21} \cdot \omega_1; \quad V_B = U_{31} \cdot \omega_1;$$

$$\varepsilon_2 = U'_{21} \cdot \omega_1^2 + U_{21} \cdot \varepsilon_1;$$

$$a_B = U'_{31} \cdot \omega_1^2 + U_{31} \cdot \varepsilon_1.$$

6 Практическое занятие № 10. Метод планов сил. Определение реакций в кинематических парах

Теоретические основы практического занятия

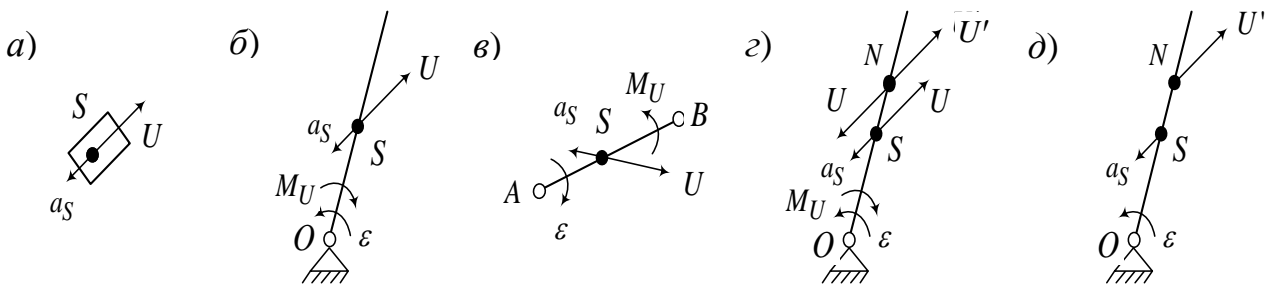
Преыдушие занятия были посвящены изучению *кинематики* звеньев механизма, т. е. изучению движения самого по себе, без учета воздействия сил. Однако на все окружающие нас тела действуют силы, различные по своей природе. *Динамика* изучает движение тел под действием сил. При этом учитываются инерционные свойства тела.

Принято выделять две основные задачи динамики: прямую и обратную. *Прямая задача динамики* состоит в том, чтобы по заданным силам найти закон движения звеньев. *Обратная задача динамики* – по заданному закону движения найти силы, вызвавшие это движение. К прямым задачам относятся рассматриваемые здесь задачи об истинном движении механизма, о регулировании хода машины, задача о маховике, к обратным задачам – силовое исследование механизма, уравновешивание роторов и механизмов.

Сила – мера механического взаимодействия тел. Это векторная величина, имеющая точку приложения, направление и модуль. Принята следующая классификация сил. *Движущая сила* – это внешняя сила, приложенная к



ведущему звену механизма со стороны двигателя и совершающая положительную работу. *Сила полезного сопротивления* – это внешняя сила, для преодоления которой предназначен механизм, она приложена к ведомому звену и совершает отрицательную работу. *Силы вредного сопротивления* – силы трения в кинематических парах, силы гидравлического и аэродинамического сопротивления, совершающие отрицательную работу. *Сила тяжести* $G = mg$ приложена к телу в центре масс, работа силы при опускании центра масс положительная, а при подъеме отрицательная, за полный цикл движения работа нулевая. *Силы реакции связей* – силы, возникающие в местах взаимодействия звеньев, т. е. в кинематических парах, и по третьему закону Ньютона равные по величине и противоположные по направлению. Для механизма работа сил реакции в кинематических парах равна нулю. *Сила инерции* $U = -ma$ в инерциальных системах позволяет свести динамическую задачу к задаче статики. По *принципу Даламбера*, если к внешним силам добавить силы инерции, то систему сил можно рассматривать как находящуюся в равновесии (*метод кинестатики*). Для поступательно движущегося тела (рисунок 14, а) сила инерции определяется произведением массы тела на ускорение центра масс $U = -ma_S$, прикладывается к центру масс противоположно направлению ускорения. Для вращающегося тела (рисунок 14, б), кроме силы, учитывают момент сил инерции $M_U = -J_S \varepsilon$, где J_S – момент инерции тела относительно оси, проходящей через центр масс S перпендикулярно плоскости движения; ε – угловое ускорение тела. Для сложного движения (рисунок 14, в) тоже необходимо учесть и силу инерции, и момент сил инерции.



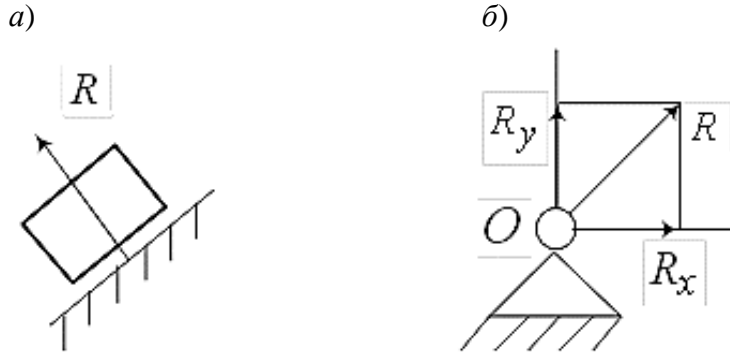
а – для поступательного движения; б – для вращательного движения; в – для сложного движения; г – прием замены силы и момента сил инерции одной силой; д – результат замены

Рисунок 14 – Силы и моменты инерции для различных видов движения

Удобно заменить U и M_U (рисунок 14, г) одной силой U' (рисунок 14, д). Для этого можно приложить в точке N силы U и $-U$. Это не изменит равновесия тела. Силы $-U$ (в точке N) и U (в центре масс S) образуют пару сил с моментом $M = U \cdot SN$. Если выбрать расстояние SN из условия $SN = \frac{M_U}{U}$, то M компенсирует M_U и можно учитывать в расчетах только силу $U' = -ma_S$, приложенную

в точке N . Для коромысла $SN = \frac{L}{6}$, а $ON = \frac{2}{3}L$, где L – длина звена.

На рисунке 15 изображены реакции поступательной и вращательной кинематических пар без учета сил трения.



a – поступательная кинематическая пара; b – вращательная кинематическая пара

Рисунок 15 – Реакции в кинематических парах

Пример выполнения задания

Пусть задан механизм и сила полезного сопротивления $Q = 250$ Н (рисунок 16, a), план его скоростей (рисунок 16, b) и ускорений (рисунок 16, $в$). Определим требуемую уравновешивающую силу $F_{уп}$ и реакции в кинематических парах методом планов сил и методом рычага Жуковского. Пусть известны массы звеньев: масса кулисы $m_3 = 8$ кг; масса ползуна $m_5 = 25$ кг. Массы остальных звеньев малы по сравнению с заданными, ими пренебрегаем.

Рассчитаем веса звеньев:

$$G_3 = m_3 \cdot g = 8 \cdot 9,81 = 78,48 \text{ Н};$$

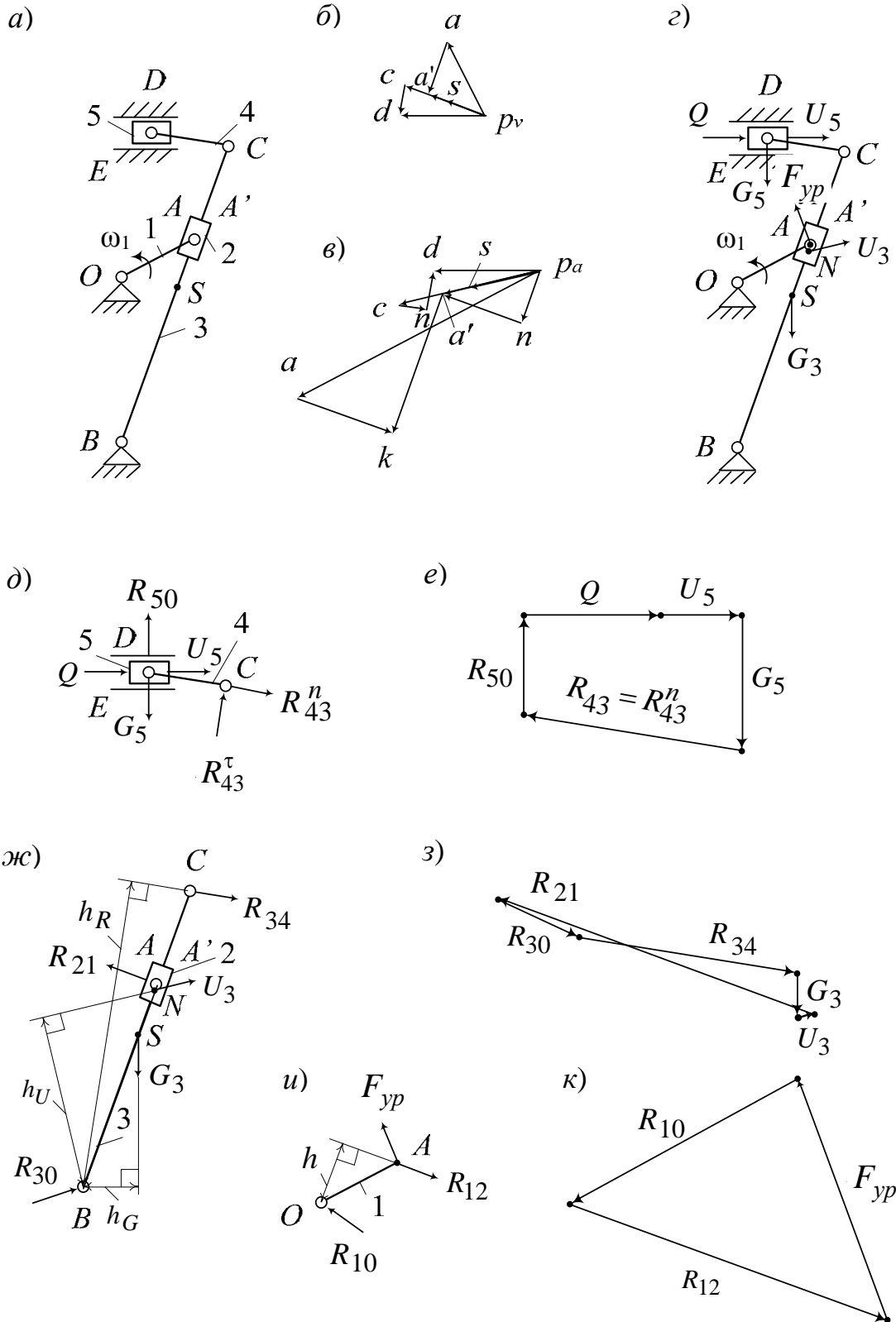
$$G_5 = m_5 \cdot g = 25 \cdot 9,81 = 245,25 \text{ Н}.$$

Определим силы инерции этих звеньев:

$$U_3 = -m_3 \cdot a_S = 8 \cdot (-3,99) = -31,92 \text{ Н};$$

$$U_5 = -m_5 \cdot a_D = 25 \cdot (-5,86) = -146,5 \text{ Н}.$$

Знаки «минус» показывают, что направление сил инерции противоположно соответствующим ускорениям, указанным на плане ускорений векторами $\vec{a}_S - p_a s$, $\vec{a}_D - p_a d$ (см. рисунок 16, $в$). Уравновешивающую силу $F_{уп}$ приложим к концу кривошипа перпендикулярно ему в направлении его вращения (рисунок 16, $з$).



a – заданный механизм; *б* – план скоростей механизма; *в* – план ускорений механизма; *г* – схема приложенных к механизму сил; *д* – схема сил диады 4–5; *е* – план сил диады 4–5; *ж* – схема сил диады 2–3; *з* – план сил диады 2–3; *и* – схема сил механизма первого класса; *к* – план сил механизма первого класса

Рисунок 16 – Применение метода планов сил



Выделим диаду 4–5 (рисунок 16, д). В местах отрыва (кинематических парах E и C) отбросим связи и заменим их действие реакциями. Для поступательной пары E реакция R_{50} перпендикулярна направляющим пары, а во вращательной паре реакция неизвестного направления, которую можно разложить на две составляющие: нормальную – R_{43}^n (параллельно звену) и касательную – R_{43}^{τ} (перпендикулярно звену). Нижний индекс состоит из двух чисел. Первое число указывает, на какое звено действует реакция, а второе – со стороны какого звена. Записываем уравнение равновесия диады в виде суммы всех сил, на нее действующих:

$$\underline{\underline{Q}} + \underline{\underline{U}}_5 + \underline{\underline{G}}_5 + \underline{\underline{R}}_{50} + \underline{\underline{R}}_{43}^n + \underline{\underline{R}}_{43}^{\tau} = 0.$$

Геометрически это значит, что многоугольник, стороны которого являются векторами суммы, должен быть замкнут. Такой многоугольник можно построить, имея не более двух неизвестных. Для определения их числа удобно применять подчеркивание. Два подчеркивания – вектор известен и по направлению, и по величине. Одно подчеркивание – вектор известен лишь по направлению. В данном случае имеем три неизвестных. Необходимо одну из них определить. Для этого составим уравнение равновесия моментов сил звена 4 относительно точки D . Линия действия силы \vec{R}_{43}^n проходит через точку D , поэтому она не имеет плеча и ее момент относительно точки D равен нулю. Момент создает сила \vec{R}_{43}^{τ} на плече L_{CD} , поскольку L_{CD} является перпендикуляром, опущенным из точки D на линию действия силы. Причем момент положительный потому, что сила стремится повернуть звено 4 относительно точки D против часовой стрелки, тогда уравнения равновесия моментов $\sum M_D(4) = 0$, $R_{43}^{\tau} \cdot L_{CD} = 0$, $R_{43}^{\tau} = 0$. Теперь в уравнении равновесия две неизвестных. Можно приступить к его графическому решению. Строить векторный многоугольник можно в любой последовательности, начиная с известных по направлению и модулю векторов. Отложим $Q = 250$ Н, по ее направлению – вектор длиной $|Q| = 50$ мм и определим масштабный коэффициент построения:

$$\mu_F = \frac{Q}{|Q|} = \frac{250}{50} = 5 \text{ Н/мм.}$$

Определим что $|U_5|$ и $|G_5|$:

$$|U_5| = U_5 / \mu_F = 146,5 / 5 = 29,3 \approx 29 \text{ мм,}$$

$$|G_5| = G_5 / \mu_F = 245,25 / 5 = 49,05 \approx 49 \text{ мм.}$$

Пристроим их последовательно к вектору \vec{Q} (рисунок 16, е). Далее к концу



вектора G_5 построим линию действия реакции R_{43}^n , а из точки начала построения вектора Q – линию действия R_{50} до точки пересечения с линией реакции R_{43}^n . Поставим направление векторов R_{43}^n и R_{50} так, чтобы получился замкнутый векторный контур. Вектор R_{43}^n на схеме сил (см. рисунок 16, д) имеет противоположное направление тому, что получилось из построения.

Следует понимать, что истинное направление векторов получается при графическом решении векторных уравнений на планах сил. Но менять направление на схемах сил не следует, иначе расчеты моментов окажутся неверными. Замерим полученные вектора на плане: $|R_{43}^n| = 80,5$ мм, $|R_{50}| = 36$ мм. Определим значения реакций: $R_{43}^n = |R_{43}^n| \cdot \mu_F = 80,5 \cdot 5 = 402,5$ Н, $R_{50} = |R_{50}| \cdot \mu_F = 36 \cdot 5 = 180$ Н. Поскольку $R_{43}^r = 0$, то реакция $\vec{R}_{43} = \vec{R}_{43}^n + \vec{R}_{43}^r = \vec{R}_{43}^n = 402,5$ Н.

Реакция \vec{R}_{45} во внутренней вращательной кинематической паре D определяется из условий равновесия звена 4: $\sum F(4) = 0$, $\vec{R}_{45} + \vec{R}_{43} = 0$, $\vec{R}_{45} = -\vec{R}_{43}$.

Рассмотрим диаду 2–3 (рисунок 16, ж). Отбросим связи и заменим их действие реакциями: в точке C реакция $\vec{R}_{34} = -\vec{R}_{43} = -402,5$ Н (направлена противоположно \vec{R}_{43}); в точке B реакция \vec{R}_{30} (неизвестного направления, поэтому на схеме направим произвольно); в точке A реакция \vec{R}_{21} (перпендикулярно кулисе 3). Запишем уравнение равновесия диады в виде суммы всех сил, на нее действующих:

$$\vec{R}_{34} + \vec{G}_3 + \vec{U}_3 + \vec{R}_{21} + \vec{R}_{30} = 0.$$

Снова имеем три неизвестных: модуль и направление реакции \vec{R}_{30} и модуль реакции \vec{R}_{21} . Необходимо одну из них определить. Для этого составим уравнение равновесия моментов сил диады относительно точки B :

$$\sum M_B = 0; \quad R_{34} \cdot h_R + U_3 \cdot h_U + G_3 \cdot h_G - R_{21} \cdot L_{AB} = 0;$$

$$R_{21} = \frac{R_{34} \cdot h_R + U_3 \cdot h_U + G_3 \cdot h_G}{L_{AB}} = \frac{402,5 \cdot 55,2 + 31,92 \cdot 311 + 78,48 \cdot 100}{392} = 611,99 \text{ Н},$$

где h_R , h_U , h_G – плечи (перпендикуляры, опущенные из точки B на линии действия сил) сил R_{34} , U_3 , G_3 соответственно, значения подставляются в миллиметрах, измеряются на схеме сил. Поскольку реакция получилась положительной, на схеме выбрано верное направление вектора \vec{R}_{21} .

Теперь в уравнении равновесия две неизвестные. Можно приступить к его графическому решению. Начнем построение с известных сил. Реакция \vec{R}_{34} уже определена при рассмотрении диады 4–5 (см. рисунок 16, е) и по третьему закону Ньютона равна \vec{R}_{43} , но противоположно направлена. Далее определим в



выбранном масштабе длины в миллиметрах остальных известных векторов и пристроим их последовательно к вектору \vec{R}_{34} (рисунок 16, з): $|G_3| = G_3/\mu_F = 78,48/5 = 15,696 \approx 16$ мм, $|U_3| = U_3/\mu_F = 31,92/5 = 6,384 \approx 6$ мм.

К вектору U_3 пристроим определенную выше реакцию R_{21} . Замыкающий вектор многоугольника сил является искомым вектором R_{30} . Замерим его длину $|R_{30}| = 32,6$ мм. Определим реакцию: $R_{30} = |R_{30}| \cdot \mu_F = 32,6 \cdot 5 = 163$ Н.

Реакция \vec{R}_{23} во внутренней кинематической паре A' определяется из условий равновесия звена 2: $\sum F(2) = 0$, $\vec{R}_{21} + \vec{R}_{23} = 0$, $\vec{R}_{23} = -\vec{R}_{21}$.

Силовой расчет механизма первого класса (рисунок 16, и) заключается в определении уравновешивающей силы F_{yp} и реакции в кинематической паре O . Отбросим связи и заменим их действие реакциями: в точке A – реакция $\vec{R}_{12} = -\vec{R}_{21} = -618,39$ Н (направлена противоположно \vec{R}_{21}); в точке O – реакция \vec{R}_{10} (неизвестного направления, поэтому на схеме направим произвольно). Запишем уравнение равновесия кривошипа:

$$\underline{\vec{R}_{12}} + \underline{\vec{F}_{yp}} + \vec{R}_{10} = 0.$$

Снова имеем три неизвестных: модуль и направление реакции \vec{R}_{10} и модуль реакции \vec{F}_{yp} .

Составим уравнение равновесия моментов сил кривошипа относительно точки O :

$$\sum M_O = 0; \quad R_{12} \cdot h - F_{yp} \cdot L_{OA} = 0; \quad F_{yp} = \frac{R_{12} \cdot h}{L_{OA}} = \frac{611,99 \cdot 11,3}{15} = 461,03 \text{ Н.}$$

Теперь в уравнении равновесия кривошипа две неизвестные. Можно приступить к его графическому решению (рисунок 16, к). Реакция \vec{R}_{12} уже определена при рассмотрении диады 2–3 (см. рисунок 16, з) и по третьему закону Ньютона равна \vec{R}_{21} , но противоположно направлена. К вектору R_{12} пристроим определенную выше силу F_{yp} . Замыкающий вектор многоугольника сил является искомым вектором R_{10} . Замерим его длину $|R_{10}| = 94,6$ мм. Определим реакцию $R_{30} = |R_{30}| \cdot \mu_F = 94,6 \cdot 5 = 473$ Н.



7 Практические занятия № 11–14. Аналитический метод кинематического анализа планетарных механизмов. Графический метод кинематического анализа комбинированных зубчатых механизмов. Синтез планетарных механизмов. Кинематический анализ дифференциальных механизмов и коробок передач

Теоретические основы практических занятий

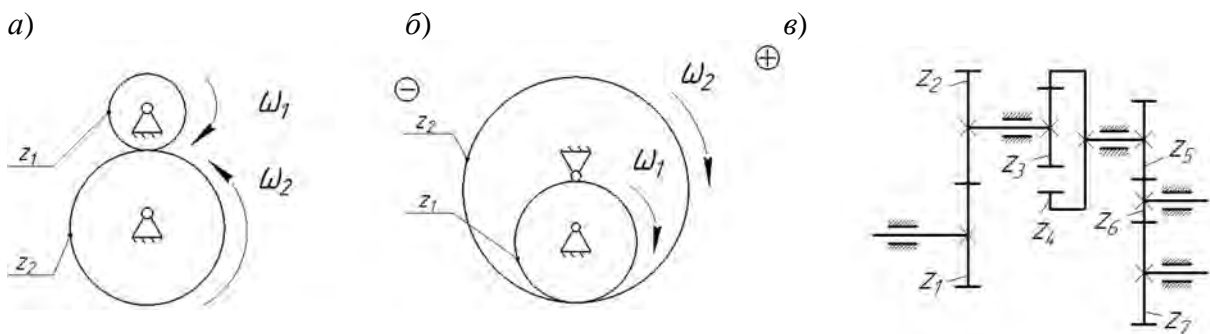
Зубчатые механизмы служат для передачи вращения. В машиностроении чаще используются зубчатые механизмы, понижающие угловую скорость ω , с^{-1} , и увеличивающие вращающий момент T , Н·м, т. е. усилие. Такие передачи называют *редукторами*. Их необходимость обусловлена тем, что выпускаемые промышленностью двигатели быстроходны. Рабочие же органы, как правило, тихоходны и требуют больших усилий для выполнения работы. Но бывают зубчатые механизмы, которые увеличивают угловую скорость – *мультипликаторы*. Они могут использоваться, например, для центрифуг.

Передаточное отношение i – отношение угловой скорости ω_1 , с^{-1} , ведущего зубчатого колеса к угловой скорости ведомого ω_2 , с учетом направления вращения (это справедливо и для частот вращения n_1 и n_2 , об/мин), индексы в формуле указывают на номера колес:

$$i_{12} = \pm \frac{\omega_1}{\omega_2} = \pm \frac{n_1}{n_2}.$$

Знак «плюс» используют при внутреннем зацеплении, а «минус» – при внешнем (рисунок 17, а, б). Передаточное отношение не следует путать с *передаточным числом* u , под которым понимают отношение числа зубьев большего колеса z_2 к меньшему z_1 :

$$u = \frac{z_2}{z_1}.$$



а – внешнее зацепление; б – внутреннее зацепление; в – схема зубчатого ряда

Рисунок 17 – Зубчатый ряд

Передаточное число всегда больше единицы и знака не имеет. Часто передаточное отношение определяют через число зубьев.

Зубчатым рядом называют зубчатый механизм, образованный зубчатыми колесами с неподвижными осями. Зубчатый ряд может состоять из одной или нескольких передач (рисунок 17, в).

Если зубчатый ряд имеет несколько зацеплений, то его передаточное отношение будет равно произведению передаточных отношений каждого зацепления. Например (см. рисунок 17, в), для зубчатого ряда от колеса 1 к колесу 7 передаточное отношение

$$i_{17} = i_{12}i_{34}i_{56}i_{67} = \left(-\frac{z_2}{z_1}\right) \cdot \left(\frac{z_4}{z_3}\right) \cdot \left(-\frac{z_6}{z_5}\right) \cdot \left(-\frac{z_7}{z_6}\right) = -\frac{z_2 z_4 z_7}{z_1 z_3 z_5}.$$

Планетарным называется зубчатый механизм, содержащий колеса с подвижными осями. Звенья планетарного механизма имеют особенные названия. Зубчатые колеса с подвижной осью (z_1 и z_3 в таблице 7) называются *сателлитами*. Подвижное звено, в котором помещена ось сателлита, называется *водилом h*. В планетарной передаче есть два центральных колеса: *центральное* z_1 с внешними зубьями называется *солнечным*, z_1 с внутренними зубьями – *эпициклом* (коронной), неподвижное z_4 – *опорным*.

При определении передаточного отношения планетарных передач используется *метод обращенного движения* (метод остановки водила).

Рассмотрим данный метод, применительно к планетарной передаче типа В, показанной в таблице 7. Передаточное отношение для данной передачи при передаче движения от солнечного колеса 1 к водилу h при остановленном коронном колесе 4 определяется по выражению

$$i_{1h} = \frac{\omega_1}{\omega_h}.$$

По методу Виллиса всему механизму сообщается угловая скорость, равная угловой скорости водила, но направленная в противоположном направлении. При этом получается обращенный механизм, в котором движение передается от солнечного колеса 1 к коронному колесу 4 при остановленном водиле h . Передаточное отношение обращенного механизма определяется по выражению

$$i_{14}^h = \frac{\omega_1 - \omega_h}{\omega_4 - \omega_h}.$$

В рассматриваемом механизме (рисунок 18, а) угловая скорость коронного колеса $\omega_4 = 0$, следовательно

$$i_{14}^h = \frac{\omega_1 - \omega_h}{-\omega_h} = \frac{\omega_1}{-\omega_h} + \frac{-\omega_h}{-\omega_h} = 1 - \frac{\omega_1}{\omega_h} = 1 - i_{1h};$$



$$i_{14}^H = 1 - i_{14}^H \quad \text{или} \quad i_{14} = 1 - i_{14}^H.$$

Таблица 7 – Основные типы планетарных механизмов

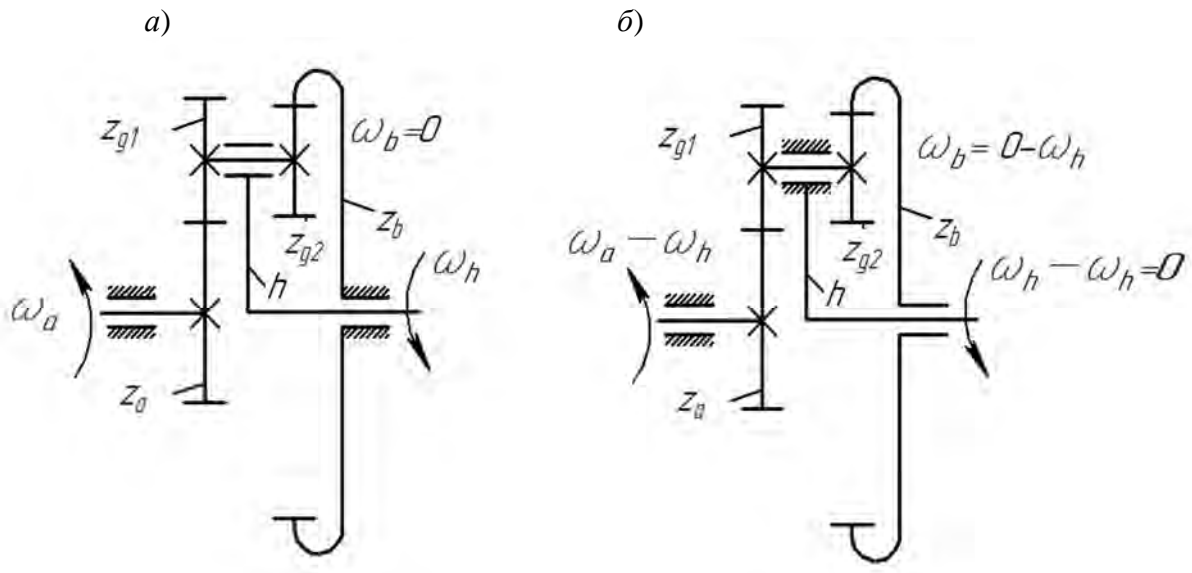
Схема				
Название	Механизмы с двухвенцовыми сателлитами и одноименными зацеплениями (два внешних)	Механизмы с двухвенцовыми сателлитами и одноименными зацеплениями (два внутренних)	Механизм с двухвенцовыми сателлитами и разноименными зацеплениями	Механизм с одновенцовыми сателлитами и разноименными зацеплениями
Значение p	$\frac{z_2 z_4}{z_1 z_3}$	$\frac{z_2 z_4}{z_1 z_3}$	$-\frac{z_2 z_4}{z_1 z_3}$	$-\frac{z_3}{z_1}$
Диапазон p	1...2	1...2	-10...-1	-5...1,4
Условие соосности	$z_1 + z_2 = z_3 + z_4$	$z_2 - z_1 = z_4 - z_3$	$z_1 + z_2 = z_4 + z_3$	$z_3 = z_1 + 2z_2$
Условие сборки	$\frac{z_2 z_4 - z_1 z_3}{k_c} = n$	$\frac{z_2 z_4 + z_1 z_3}{k_c} = n$	$\frac{z_1 + z_3}{k_c} = n$	
<p><i>Примечание</i> – p – кинематический параметр, который равен передаточному отношению обращенного механизма при передаче вращения от центрального колеса к водилу; k_c – число сателлитов; n – любое целое число</p>				

Обращённый механизм представляет собой зубчатый ряд, в котором движение передаётся от солнечного колеса z_1 к колесу z_2 и через колесо z_3 колесу z_4 . Пример такого механизма приведен на рисунке 18, б. Следовательно, передаточное отношение обращённого механизма i_{14}^H при известных числах зубьев всех звеньев планетарной передачи будет определяться выражением

$$i_{14}^H = \left(-\frac{z_2}{z_1} \right) \cdot \frac{z_4}{z_3}.$$

Окончательно получается передаточное отношение

$$i_{14}^H = 1 - i_{14}^H = 1 + \frac{z_2 z_4}{z_1 z_3}.$$



a – планетарный механизм; *б* – обращённый механизм

Рисунок 18 – Кинематический анализ планетарного механизма

Передаточное отношение i_{14}^H называется кинематическим параметром планетарного механизма и обозначается p (см. таблицу 7).

Задача синтеза планетарного механизма заключается в назначении чисел зубьев зубчатых колес с учетом условий обеспечения требуемого передаточного отношения, соосности, сборки и соседства (см. таблицу 7), отсутствия подрезания и заклинивания.

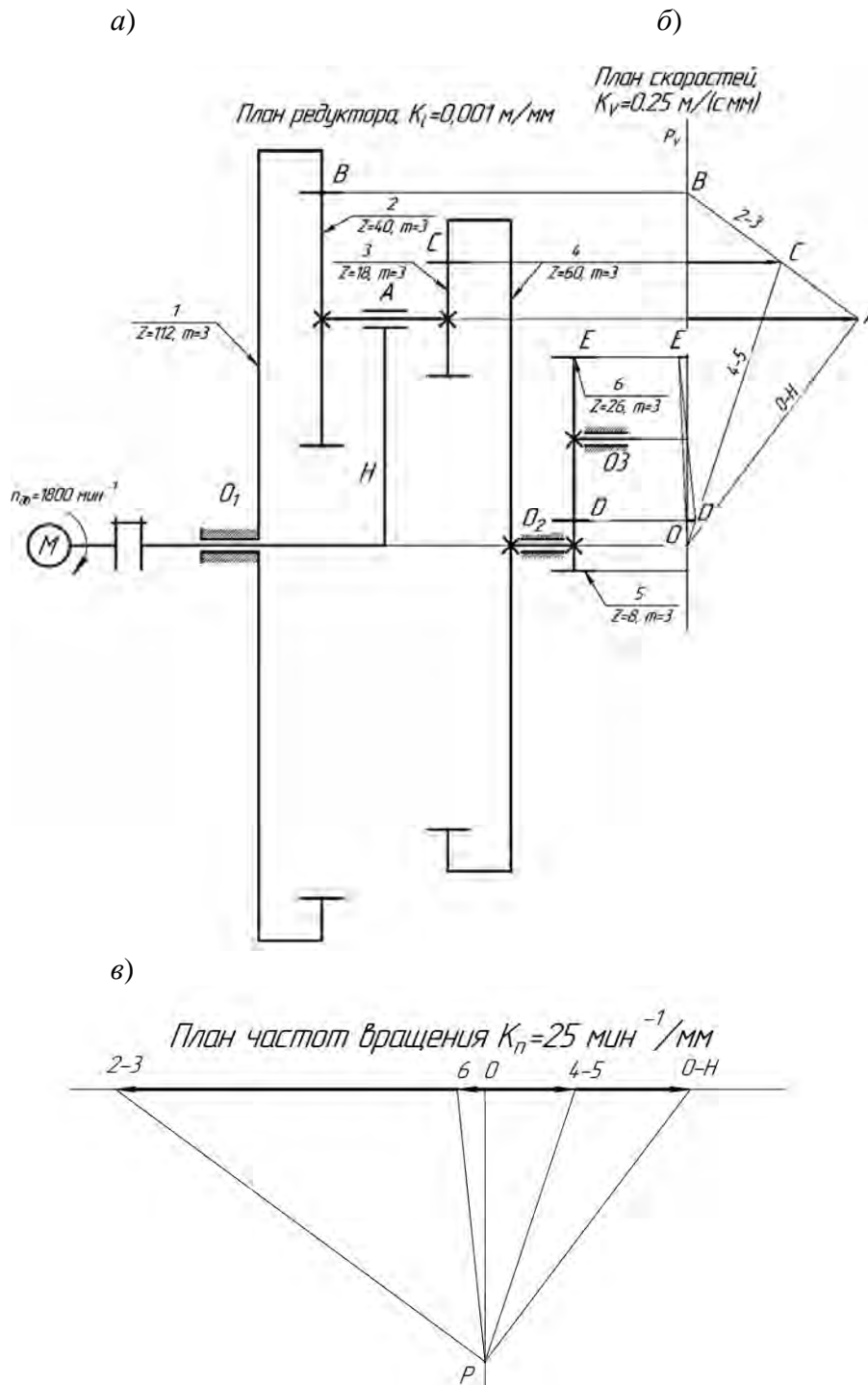
Условие соосности обеспечивает совпадение осей вращения центральных зубчатых колес и водила, иначе механизм заклинит. *Условие соседства* сателлитов выражается в том, что соседние сателлиты не должны касаться друг друга окружностями вершин. *Условие сборки* заключается в том, что при сборке после установки первого сателлита может оказаться, что остальные сателлиты установить нельзя. Это происходит потому, что поставленный первым сателлит полностью определяет взаимное положение центральных колес. *Условие отсутствия подрезания* колес с внешними зубьями обеспечивается, если для всех колес с внешними зубьями выполняется неравенство $z_i \geq z_{\min} = 17$. *Условие отсутствия заклинивания во внутреннем зацеплении* для передачи, состоящей из колес без смещения, можно обеспечить при выполнении следующих неравенств: $z_{\text{внешн}} \geq 20$, $z_{\text{внутр}} \geq 85$, $z_{\text{внутр}} - z_{\text{внешн}} \geq 8$.

Пример выполнения аналитического метода кинематического анализа планетарного механизма (тема практического занятия № 11)

Аналитический метод кинематического анализа планетарных механизмов основан на методе обращенного движения. Сущность метода заключается в том, что всем звеньям планетарной ступени сообщается частота вращения водила n_H ,

но в противоположном направлении. Тогда водило становится неподвижным, а остальные звенья приобретут дополнительную скорость n_H .

На рисунке 19 приведена схема исследуемого механизма. Исходные данные: $n_{дв} = n_H$ – числа зубьев колес зубчатого ряда; $z_1 = 112$; $z_2 = 40$; $z_3 = 18$; $z_4 = 90$ – числа зубьев планетарной ступени. Необходимо определить частоты вращения всех звеньев механизма n_2, n_4, n_5, n_6 .



а – кинематическая схема механизма; б – план скоростей механизма; в – план частот вращения зубчатых колес механизма

Рисунок 19 – Графический метод кинематического анализа

Передаточное отношение обращенного механизма определится по формуле

$$i_{14}^H = \frac{n_1^H}{n_4^H} = \frac{n_1 - n_H}{n_4 - n_H}.$$

Верхний индекс H указывает, что параметры относятся к обращенному механизму. Передаточное отношение i_{14}^H выразим через числа зубьев колес:

$$i_{14}^H = \left(\frac{z_2}{z_1} \right) \cdot \left(\frac{z_4}{z_3} \right) = \frac{40}{112} \cdot \frac{90}{18} = 1,786.$$

Подставляя значение $i_{14}^H = 1,786$ в предыдущее выражение, найдем частоту вращения колеса 4:

$$1,786 = \frac{0 - 1800}{n_4 - 1800},$$

отсюда $n_4 = 791,873 \text{ мин}^{-1}$.

Частоту вращения колеса 6 определим из выражения

$$i_{56} = -\frac{z_6}{z_5} = \frac{n_5}{n_6};$$

$$n_6 = -\frac{n_5 \cdot z_5}{z_6} = -\frac{791,9 \cdot 8}{26} = -234,6 \text{ мин}^{-1}.$$

Для определения частоты вращения колеса 2, запишем формулу Виллиса для первой ступени планетарного механизма:

$$i_{12}^H = \frac{n_1 - n_H}{n_2 - n_H}; \quad U_{12}^H = \frac{z_2}{z_1};$$

$$\frac{40}{112} = \frac{0 - 1800}{n_2 - 1800},$$

где $n_2 = -3240 \text{ мин}^{-1}$.

Пример выполнения графического метода анализа комбинированного зубчатого механизма (тема практического занятия № 12)

В ряде случаев полезно провести кинематическое исследование планетарного механизма графическим методом. В основе этого метода лежат два положения кинематики:

1) скорость точки звена, совершающего вращательное движение, является линейной функцией радиуса вращения. В таком случае график зависимости



скорости от радиуса колеса есть прямая линия;

2) любое плоское движение можно рассматривать как мгновенное вращательное вокруг мгновенного центра скоростей.

В качестве примера рассмотрим механизм, представленный на рисунке 19.

Известны числа зубьев всех колес $z_1 = 112$; $z_2 = 40$; $z_3 = 18$; $z_4 = 90$; $z_5 = 8$; $z_6 = 26$; $m = 3$ мм; $n_{\text{дв}} = n_H = 1800$ мин⁻¹.

Определяем диаметры зубчатых колес:

$$d_1 = mz_1 = 3 \cdot 112 = 336 \text{ мм};$$

$$d_2 = mz_2 = 3 \cdot 40 = 120 \text{ мм};$$

$$d_3 = mz_3 = 3 \cdot 18 = 54 \text{ мм};$$

$$d_4 = mz_4 = 3 \cdot 90 = 270 \text{ мм};$$

$$d_5 = mz_5 = 3 \cdot 8 = 24 \text{ мм};$$

$$d_6 = mz_6 = 3 \cdot 26 = 78 \text{ мм}.$$

Выбираем масштабный коэффициент построения плана скоростей редуктора:

$$K_V = \frac{V_A}{P_a} = \frac{31,65}{63,30} = 0,5 \text{ м} \cdot \text{с}^{-1} / \text{мм}.$$

Вычерчиваем кинематическую схему механизма в масштабе $K_l = 0,002$ м и определяем скорость точки A .

$$V_A = \frac{\pi \cdot n_{\text{дв}}}{30} \cdot \frac{d_1}{2} = \frac{3,14 \cdot 1800}{30} \cdot \frac{0,336}{2} = 31,65 \text{ м/с}.$$

Для построения плана скоростей (см. рисунок 19, б) проведем вертикальную прямую линию полюса $P-P$ и откладываем от нее по горизонтали значение скорости точки A равным $P_a = 63$ мм. Соединив точку a с центром вращения O , получим линию распределения скоростей водила H . Точка B на механизме является мгновенным центром скоростей колес 2 и 3 и будет находиться на линии полюсов $P-P$. Соединив точки a и b , получим линию распределения скоростей для сателлита, т. е. для колес z_2 и z_3 . Скорость точки C , принадлежащей колесу 3 сателлита, определим, снеся эту точку на линию распределения скоростей 2–3. Так как точка c принадлежит также колесу z_4 , то можно построить линию распределения скоростей колес 4 и 5.

Скорость точки D найдем, спроецировав ее на линию распределения скоростей 4–5. Соединив точку a с центром вращения колеса 6, найдем линию распределения скоростей шестого колеса.

Для построения плана частот вращения всех колес (см. рисунок 19, б) проведем горизонталь и точку O , восстановим перпендикуляр. От точки O по горизонтали отложим значение частоты вращения двигателя $n_{\text{дв}}$, равное $P_a = 90$ мм в масштабе $K_n = 20$ мин⁻¹/мм и проведем из точки a линию, параллельную линии распределения скоростей водила h , и на пересечении c получаем полюс построения P . Из полюса проводим линии, параллельные линиям распределения скоростей каждого из колес, которые будут отсекают на горизонтали отрезки 0-2, 0-5, 0-6, выражающие в миллиметрах значения частот вращения каждого колеса. Из рисунка 19, б найдем значения частот вращения колес:



$$n_2 = n_3 = (0 - 3) \cdot K_n = 162 \cdot 20 = 3240 \text{ мин}^{-1};$$

$$n_4 = n_5 = (0 - 4) \cdot K_n = 41,5 \cdot 20 = 83 \text{ мин}^{-1};$$

$$n_6 = (0 - 6) \cdot K_n = 26 \cdot 20 = 520 \text{ мин}^{-1}.$$

Пример выполнения задачи синтеза (тема практического занятия № 13)

На рисунке 20 приведена схема исследуемого механизма. Исходные данные: $i_{H6} = 739$ – передаточное отношение от водила H к выходному колесу z_6 при остановленном колесе z_1 ; $z_5 = 8$; $z_6 = 26$ – числа зубьев колес зубчатого ряда; $n_{дв} = 1800 \text{ мин}^{-1}$ – частота вращения двигателя, обозначенного M на схеме.

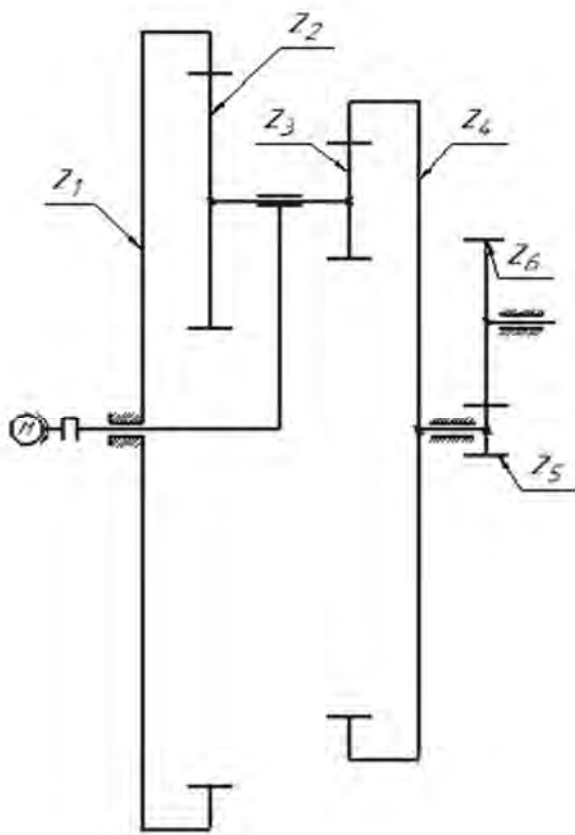


Рисунок 20 – Схема зубчатого механизма

Зубчатый механизм состоит из планетарного механизма (колеса z_1, z_2, z_3, z_4), передающего вращение от водила H к зубчатому колесу z_5 , и зубчатого ряда (колеса z_5 и z_6). Передаточное отношение такого механизма равно произведению передаточных отношений планетарного механизма и зубчатого ряда:

$$i_{H6} = i_{H4} \cdot i_{56}.$$

Известно передаточное отношение зубчатого ряда:

$$i_{56} = -\frac{z_6}{z_5} = -\frac{26}{8} = -3,25.$$

Определим передаточное число планетарного механизма:

$$i_{H4} = \frac{i_{H6}}{i_{56}} = \frac{7,39}{-3,25} = -2,27.$$

Для обеспечения условия требуемого передаточного отношения выразим передаточное число планетарного механизма через число зубьев. Передаточное отношение обращенного механизма выразим через число зубьев:

$$i_{14}^H = \frac{z_2}{z_1} \cdot \frac{z_4}{z_3} = 1,786.$$

Теперь известно, какое должно быть соотношение числа зубьев. Представим десятичную дробь простой и сократим ее. Распределим с помощью

сомножителей это соотношение, учитывая, что центральные зубчатые колеса с внутренними зубьями z_1 и z_4 всегда имеют большее число зубьев, чем сателлиты z_2 и z_3 :

$$\frac{z_2 \cdot z_4}{z_1 \cdot z_3} = \frac{5 \cdot 5}{14 \cdot 1} = 1,786.$$

Из соотношения видно, что для обеспечения заданного передаточного отношения с высокой точностью колесо z_4 должно быть в 5 раз больше сателлита z_3 . Для уменьшения габаритов механизма, а значит, снижения материалоемкости, допускаются 3–5-процентные погрешности при обеспечении заданного передаточного отношения. Получим $\frac{25}{14} = \frac{5 \cdot 5}{14 \cdot 1}$.

Применим условие соосности:

$$(z_1 - z_2) = (z_4 - z_3);$$

$$4 \cdot (14 - 5) = 9 \cdot (5 - 1);$$

$$(56 - 20) = (45 - 9).$$

Умножим обе части равенства на 2 – минимальное число зубьев, которое можно нарезать для внешнего колеса при внутреннем зацеплении (условие отсутствия заклинивания во внутреннем зацеплении $(112 - 40) = (90 - 18)$).

В результате синтезирован зубчатый планетарный механизм со следующим числом зубьев: $z_1 = 112$; $z_2 = 40$; $z_3 = 18$; $z_4 = 90$.

Пример выполнения кинематического анализа дифференциального зубчатого механизма (тема практического занятия № 14)

Решение задачи по определению кинематических параметров сложного зубчатого механизма следует начинать с выяснения структуры этого механизма. В нем необходимо выделить дифференциальную часть и зубчатые ряды, а затем составить выражения для передаточных отношений каждой из этих выделенных частей.

При определении неизвестных чисел зубьев в зубчатом механизме необходимо учесть условие соосности дифференциальной части механизма, модули всех колес для упрощения расчетов принять одинаковыми.

Схема такого механизма представлена на рисунке 21. Здесь заданы числа зубьев колес 1, 2 и 4. Определению подлежат величина передаточного отношения от входного вала к корпусу барабана i_{1-3} и количество зубьев, нарезанных на торцевой части перегородки корпуса барабана Z_3 .

Данный механизм, как уже отмечалось, представляет собой замкнутый дифференциальный редуктор грузоподъемного устройства. Зубчатые колеса 1, 2, 3 и водило Н представляют собой дифференциальную часть, а колеса 4, 6 – простой зубчатый ряд.



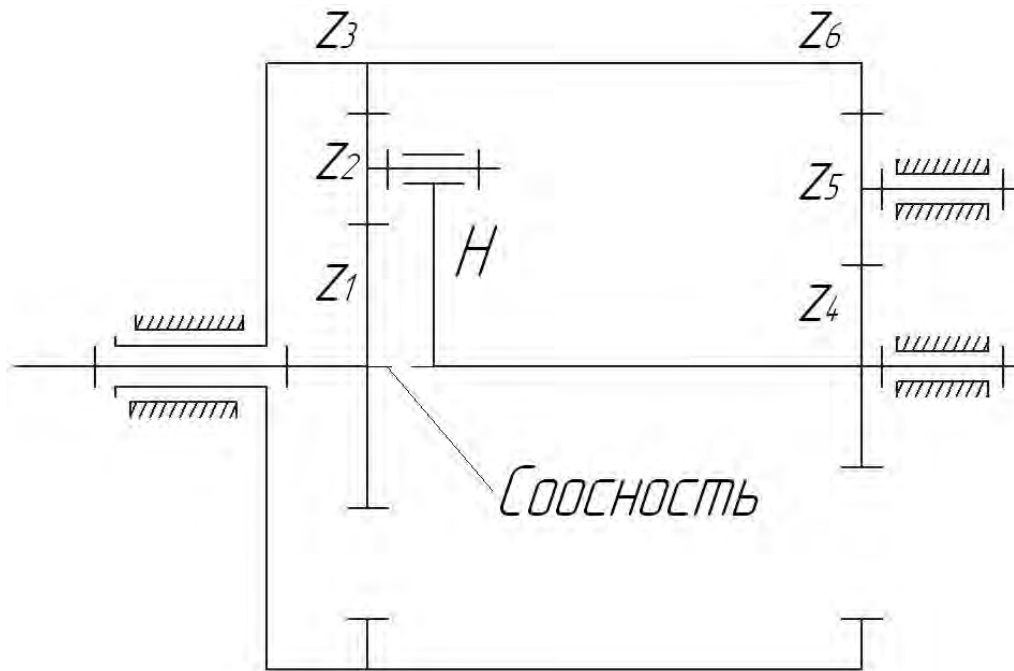


Рисунок 21 – Замкнутый сложный зубчатый механизм

Степень подвижности этого механизма относительно стойки определим из выражения

$$W = 3 \kappa - 2 p_1 - p_2 = 3 \cdot 5 - 2 \cdot 5 - 1 \cdot 4 = 1.$$

Неизвестное число зубьев колеса 3 рассчитаем из условия соосности дифференциальной части, т. е.

$$r_3 = r_1 + 2 r_2,$$

где r_1, r_2, r_3 – радиусы делительных окружностей колес 1–3.

Эти радиусы далее следует заменить соотношением

$$r = \frac{m \cdot z}{2},$$

где m – модуль зубчатого зацепления;

z – число зубьев колеса.

При равенстве модулей всех колес конечный результат представим в виде

$$z_3 = z_1 + 2z_2.$$

Передаточное отношение дифференциальной части определим выражением

$$i_{1-3}^H = - \frac{z_3}{z_1} = \frac{n_1 - n_H}{n_3 - n_H},$$

где $n_3 = n_6$; $n_H = n_4$.

Искомое соотношение i_{1-3} можно записать как

$$i_{1-3} = \frac{n_1}{n_3}.$$

Разделив правую часть равенства на n_3 , получим

$$i_{1-3}^H = - \frac{z_3}{z_1} = \frac{n_1/n_3 - n_H/n_3}{1 - n_H/n_3} = \frac{i_{1-3} - i_{4-6}}{1 - i_{4-6}}.$$

Неизвестную на данный момент величину i_{4-6} (передаточное отношение зубчатого ряда) определим из выражения

$$i_{4-6} = (-1)^1 \frac{z_5 \cdot z_6}{z_4 \cdot z_5} = - \frac{z_6}{z_4}$$

и затем подставим в предыдущее уравнение. Полученное уравнение решим относительно одного оставшегося неизвестного i_{1-3} :

$$i_{1-3} = i_{1-3}^H (1 - i_{4-6}) + i_{4-6}.$$

Список литературы

- 1 **Волков, В. В.** Теория механизмов и машин : учебник / В. В. Волков. – Старый Оскол : ТНТ, 2017. – 328 с.
- 2 Теория механизмов и механика машин : учебник / Под ред. К. В. Фролова. – 5-е изд., стер. – Москва : Высшая школа, 2005. – 496 с.
- 3 Теория механизмов и механика машин : учебник / Под ред. К. В. Фролова. – 2-е изд., перераб. и доп. – Москва : Высшая школа, 1998. – 496 с. : ил.
- 4 **Попов, С. А.** Курсовое проектирование по теории механизмов и механике машин / С. А. Попов, Г. А. Тимофеев ; под ред. К. В. Фролова. – Москва : Высшая школа, 1998. – 351 с.
- 5 **Борисенко, Л. А.** Теория механизмов, машин и манипуляторов : учебное пособие / Л. А. Борисенко. – Минск : Новое знание, 2011. – 285 с. : ил.
- 6 Зубчатые передачи и трансмиссии в Беларуси: проектирование, технология, оценка свойств / В. Б. Альгин [и др.] ; под общ. ред. В. Б. Альгина, В. Е. Старжинского. – Минск : Беларуская навука, 2017. – 406 с.
- 7 **Леонов, И. В.** Теория механизмов и машин. Основы проектирования по динамическим критериям и показателям экономичности: учебник / И. В. Леонов. – Москва : Юрайт, 2016. – 239 с.

